

RN30

- 1- Coordonnées des emprunts et des points d'eau
- 2- Coupes de sondages
- 3- Résumés des graphiques
- 4- Tableaux récapitulatifs des résultats des essais sur les emprunts
- 5- Carrières rocheuses

1- Coordonnées des emprunts et des points d'eau

Tableau 74: Coordonnées des emprunts

| Coordonnées des Emprunts sur la RN30 | | | | | | | | | | | | | | | |
|--------------------------------------|----------|-----------|------------|------------|----------|-----------|------------|-------------|----------|-----------|------------|--------------|----------|-----------|------------|
| Emprunts | SONDAGES | X | Y | Emprunts | SONDAGES | X | Y | Emprunts | SONDAGES | X | Y | Emprunts | SONDAGES | X | Y |
| Emprunt I | S1 | 722426.00 | 1405732.00 | Emprunt II | S1 | 725755.00 | 1403154.00 | Emprunt III | S1 | 728378.00 | 1397736.00 | Emprunt IV | S1 | 731932.00 | 1394731.00 |
| | S2 | 722370.00 | 1405708.00 | | S2 | 725799.00 | 1403149.00 | | S2 | 728318.00 | 1397776.00 | | S2 | 731981.00 | 1394700.00 |
| | S3 | 722317.00 | 1405686.00 | | S3 | 725817.00 | 1403126.00 | | S3 | 728376.00 | 1397663.00 | | S3 | 732023.00 | 1394668.00 |
| | S4 | 722247.00 | 1405674.00 | | S4 | 725844.00 | 1403107.00 | | S4 | 728392.00 | 1397607.00 | | S4 | 732057.00 | 1394650.00 |
| | S5 | 722175.00 | 1405658.00 | | S5 | 725793.00 | 1403190.00 | | S5 | 728411.00 | 1397559.00 | | S5 | 731903.00 | 1394713.00 |
| | S6 | 722370.00 | 1405647.00 | | S6 | 725838.00 | 1403177.00 | | S6 | 728251.00 | 1397833.00 | | S6 | 731951.00 | 1394684.00 |
| | S7 | 722311.00 | 1405631.00 | | S7 | 725872.00 | 1403165.00 | | S7 | 728257.00 | 1397775.00 | | S7 | 731997.00 | 1394645.00 |
| | S8 | 722249.00 | 1405617.00 | | S8 | 725906.00 | 1403151.00 | | S8 | 728283.00 | 1397715.00 | | S8 | 732027.00 | 1394625.00 |
| | S9 | 722184.00 | 1405596.00 | | S9 | 725830.00 | 1403223.00 | | S9 | 728250.00 | 1397672.00 | | S9 | 731903.00 | 1394681.00 |
| | S10 | 722115.00 | 1405581.00 | | S10 | 725880.00 | 1403210.00 | | S10 | 728316.00 | 1397657.00 | | S10 | 731857.00 | 1394683.00 |
| | S11 | 722382.00 | 1405608.00 | | S11 | 725922.00 | 1403211.00 | | S11 | 728308.00 | 1397579.00 | | S11 | 731830.00 | 1394668.00 |
| | S12 | 722322.00 | 1405592.00 | | S12 | 725952.00 | 1403189.00 | | S12 | 728341.00 | 1397540.00 | | S12 | 731850.00 | 1394654.00 |
| | S13 | 722238.00 | 1405575.00 | | S13 | 725864.00 | 1403272.00 | | S13 | 728158.00 | 1397732.00 | | S13 | 731869.00 | 1394637.00 |
| | S14 | 722154.00 | 1405558.00 | | S14 | 725909.00 | 1403275.00 | | S14 | 728264.00 | 1397608.00 | | S14 | 731890.00 | 1394626.00 |
| | S15 | 722318.00 | 1405534.00 | | S15 | 725947.00 | 1403267.00 | | S15 | 728258.00 | 1397545.00 | | S15 | 731816.00 | 1394653.00 |
| | S16 | 722255.00 | 1405515.00 | | S16 | 725978.00 | 1403249.00 | | S16 | 728284.00 | 1397507.00 | | S16 | 731869.00 | 1394614.00 |
| Emprunt V | S1 | 735480.00 | 1391127.00 | Emprunt VI | S1 | 737232.25 | 1387261.57 | Emprunt VII | S1 | 738151.59 | 1384608.97 | Emprunt VIII | S1 | 739108.61 | 1383115.71 |
| | S2 | 735509.00 | 1391089.00 | | S2 | 737004.69 | 1387018.11 | | S2 | 738272.87 | 1384563.49 | | S2 | 739332.35 | 1382971.12 |
| | S3 | 735525.00 | 1391053.00 | | S3 | 736595.70 | 1387032.49 | | S3 | 738266.74 | 1384484.80 | | S3 | 739633.65 | 1383026.33 |
| | S4 | 735428.00 | 1391117.00 | | S4 | 737276.80 | 1387570.47 | | S4 | 738147.83 | 1384356.86 | | S4 | 739107.32 | 1382776.02 |
| | S5 | 735461.00 | 1391090.00 | | S5 | 736441.98 | 1387306.01 | | S5 | 738268.99 | 1384396.98 | | S5 | 739469.63 | 1382848.23 |
| | S6 | 735485.00 | 1391051.00 | | S6 | 736039.73 | 1387161.75 | | S6 | 738408.63 | 1384305.29 | | S6 | 739722.17 | 1382936.63 |
| | S7 | 735375.00 | 1391106.00 | | S7 | 735925.26 | 1387531.62 | | S7 | 738304.28 | 1384247.44 | | S7 | 739153.71 | 1382707.46 |
| | S8 | 735410.00 | 1391069.00 | | S8 | 736412.88 | 1387643.18 | | S8 | 738169.02 | 1384302.21 | | S8 | 739639.44 | 1382779.68 |
| | S9 | 735438.00 | 1391035.00 | | S9 | 736861.53 | 1387784.62 | | S9 | 738199.77 | 1384216.41 | | S9 | 739447.13 | 1382703.58 |
| | S10 | 735460.00 | 1391170.00 | | S10 | 736654.96 | 1388038.32 | | S10 | 738035.21 | 1384132.97 | | S10 | 739211.54 | 1382584.58 |
| | S11 | 735430.00 | 1391227.00 | | S11 | 736285.00 | 1387892.09 | | S11 | 738393.54 | 1384119.48 | | S11 | 739321.54 | 1382416.60 |
| | S12 | 735367.00 | 1391304.00 | | S12 | 736537.00 | 1388392.00 | | S12 | 738144.98 | 1384044.18 | | S12 | 739574.39 | 1382474.01 |
| | S13 | 735336.00 | 1391369.00 | | S13 | 736026.26 | 1388057.46 | | S13 | 738390.70 | 1384004.08 | | S13 | 739479.42 | 1383494.58 |
| | S14 | 735351.00 | 1391189.00 | | S14 | 735669.01 | 1387886.58 | | S14 | 738209.91 | 1383957.34 | | S14 | 739187.79 | 1383339.29 |

Coordonnées des Emprunts sur la RN30

| Emprunts | SONDAGES | X | Y | Emprunts | SONDAGES | X | Y | Emprunts | SONDAGES | X | Y | Emprunts | SONDAGES | X | Y |
|----------|----------|-----------|------------|----------|----------|-----------|------------|----------|----------|-----------|------------|----------|----------|-----------|------------|
| | S15 | 735298.00 | 1391244.00 | | S15 | 735738.06 | 1388210.69 | | S15 | 738287.84 | 1383879.69 | | S15 | 739317.14 | 1383286.48 |
| | S16 | 735266.00 | 1391315.00 | | S16 | 735297.48 | 1388076.94 | | S16 | 738371.47 | 1383822.31 | | S16 | 739542.62 | 1383279.03 |

Tableau 75 : Coordonnées des points d'eau

| Désignations | Coordonné GPS | | Fuseau |
|------------------|---------------|------------|--------|
| | X | Y | |
| Axe RN 30 | | | |
| Baoulé | 738172.59 | 1384855.94 | 29 P |
| Bafing | 734831.37 | 1223377.89 | |
| yankelaba | 755237.14 | 1196929.86 | |

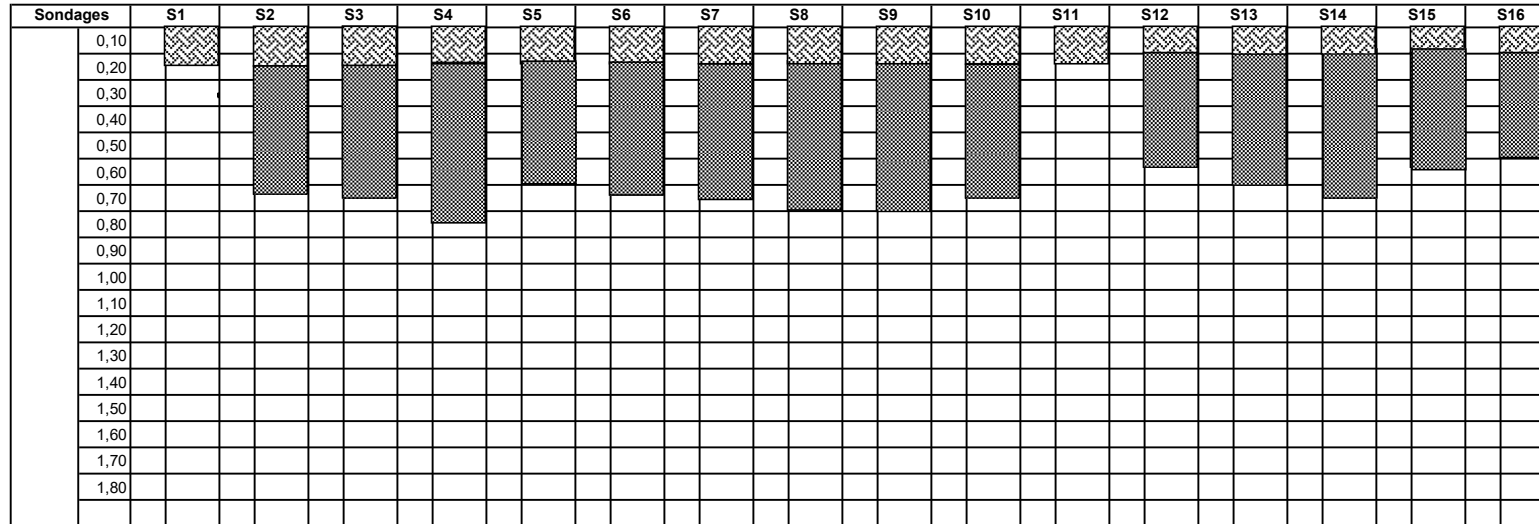
2- Coupes de sondages

CARRIERE GRAVE LATERITIQUE



GITE I PK 8+500

ROUTE : FANA-DIOILA

Coupes des sondages



LEGENDE :

-  TERRE VEGETALE
-  GRAVE LATERITIQUE

| | Epais. Moy | Volume Theorique |
|----|------------|------------------|
| TV | 0,14 | 6083 |
| GL | 0,44 | 20292 |

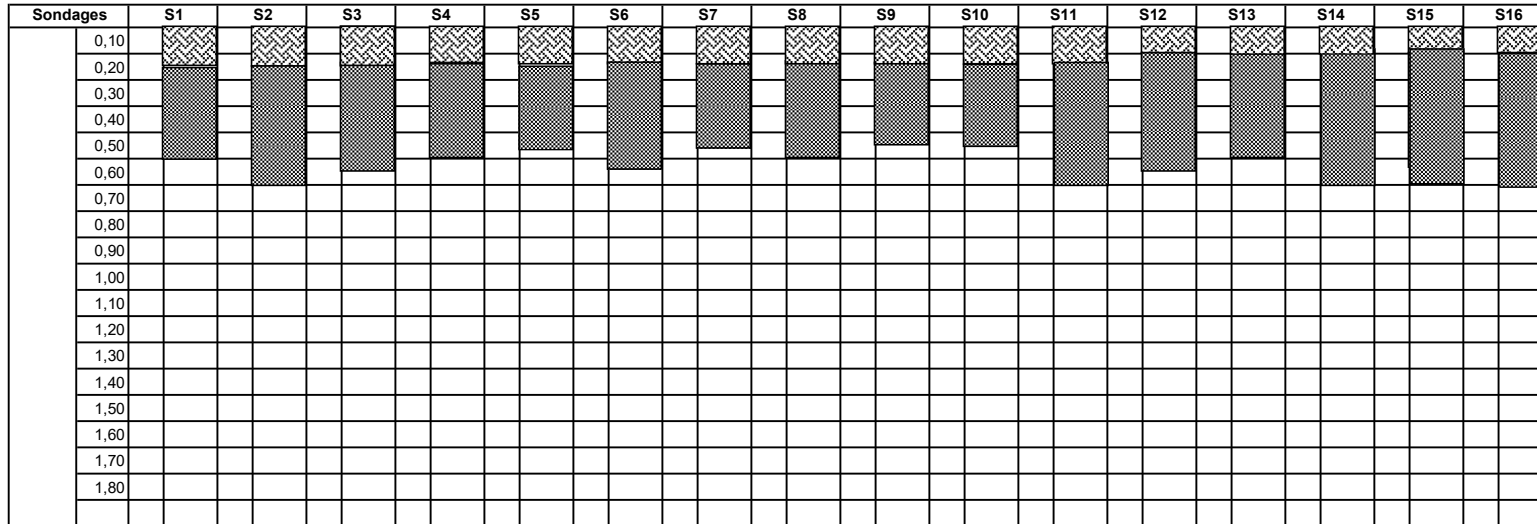
| N° SOND | 1 | 2 | 3 | 4 | 5 | 6 | 7 | 8 | 9 | 10 | 11 | 12 | 13 | 14 | 15 | 16 |
|---------|------|------|------|------|------|------|------|------|------|------|------|------|------|------|------|------|
| TV | 0,15 | 0,15 | 0,15 | 0,15 | 0,15 | 0,15 | 0,15 | 0,15 | 0,15 | 0,15 | 0,15 | 0,10 | 0,10 | 0,10 | 0,10 | 0,10 |
| GL | 0,00 | 0,50 | 0,50 | 0,60 | 0,45 | 0,50 | 0,50 | 0,55 | 0,55 | 0,50 | 0,00 | 0,45 | 0,50 | 0,55 | 0,45 | 0,40 |

CARRIERE GRAVE LATERITIQUE



GITE II PK 15+500

ROUTE : FANA-DIOILA

Coupes des sondages



LEGENDE :

-  TERRE VEGETALE
-  GRAVE LATERITIQUE

| | Epais. Moy | Volume Theorique |
|----|------------|------------------|
| TV | 0,15 | 3 931 |
| GL | 0,37 | 8 997 |

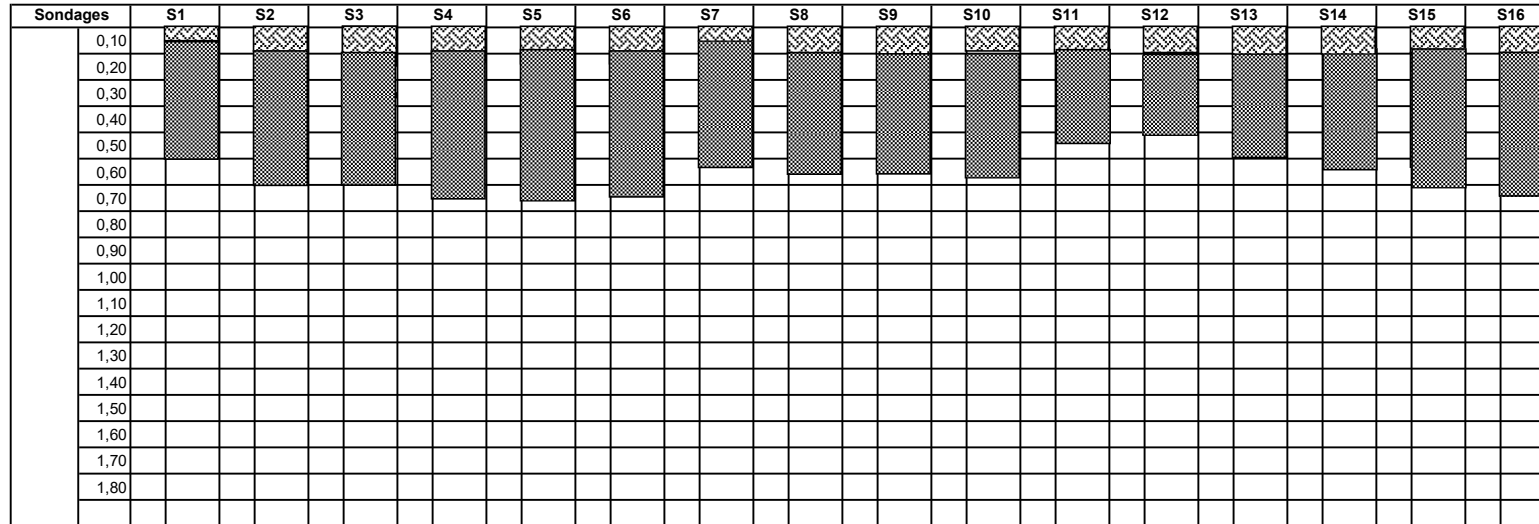
| N° SOND | 1 | 2 | 3 | 4 | 5 | 6 | 7 | 8 | 9 | 10 | 11 | 12 | 13 | 14 | 15 | 16 |
|---------|------|------|------|------|------|------|------|------|------|------|------|------|------|------|------|------|
| TV | 0,15 | 0,15 | 0,15 | 0,15 | 0,15 | 0,15 | 0,15 | 0,15 | 0,15 | 0,15 | 0,15 | 0,15 | 0,15 | 0,15 | 0,15 | 0,15 |
| GL | 0,35 | 0,45 | 0,40 | 0,35 | 0,30 | 0,40 | 0,30 | 0,35 | 0,30 | 0,30 | 0,45 | 0,40 | 0,35 | 0,45 | 0,45 | 0,45 |

CARRIERE GRAVE LATERITIQUE



GITE III PK 19+800

ROUTE : FANA-DIOILA

Coupes des sondages



LEGENDE :

-  TERRE VEGETALE
-  GRAVE LATERITIQUE

| | Epais. Moy | Volume Theorique |
|----|------------|------------------|
| TV | 0,09 | 3 000 |
| GL | 0,46 | 12 000 |

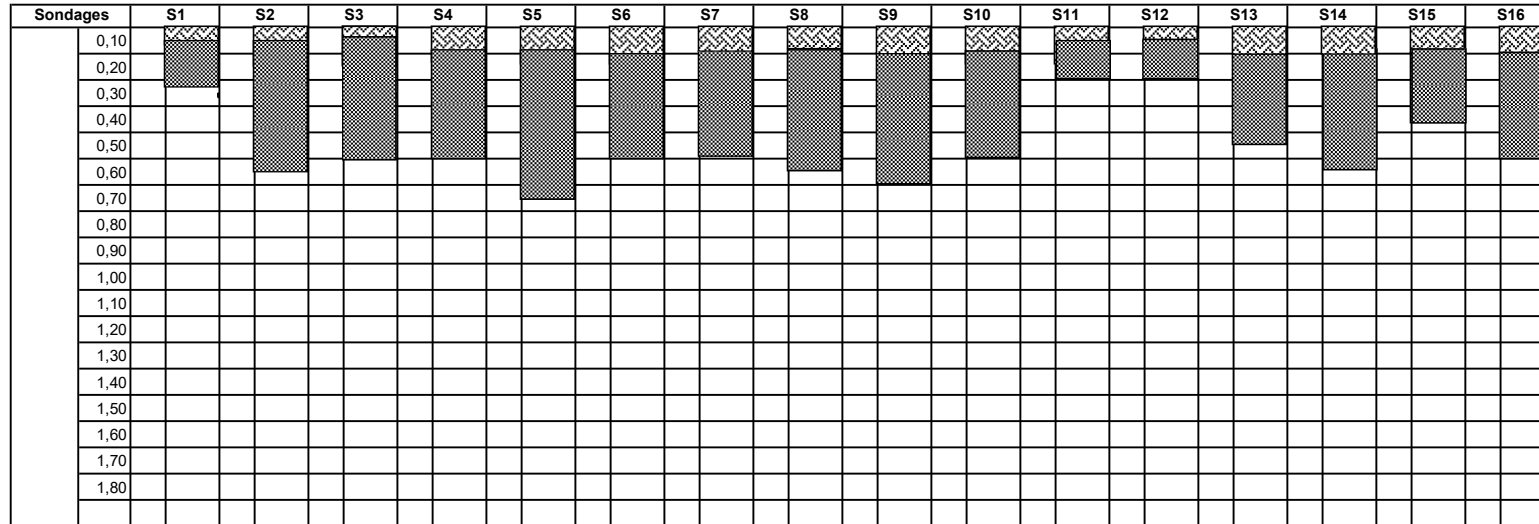
| N° SOND | 1 | 2 | 3 | 4 | 5 | 6 | 7 | 8 | 9 | 10 | 11 | 12 | 13 | 14 | 15 | 16 |
|---------|------|------|------|------|------|------|------|------|------|------|------|------|------|------|------|------|
| TV | 0,05 | 0,10 | 0,10 | 0,10 | 0,10 | 0,10 | 0,05 | 0,10 | 0,10 | 0,10 | 0,10 | 0,10 | 0,10 | 0,10 | 0,10 | 0,10 |
| GL | 0,45 | 0,50 | 0,50 | 0,55 | 0,55 | 0,56 | 0,50 | 0,45 | 0,45 | 0,45 | 0,35 | 0,35 | 0,40 | 0,45 | 0,50 | 0,55 |

CARRIERE GRAVE LATERITIQUE



GITE VI PK 26+300

ROUTE : FANA-DIOILA

Coupes des sondages



LEGENDE :

-  TERRE VEGETALE
-  GRAVE LATERITIQUE

| | Epais. Moy | Volume Theorique |
|----|------------|------------------|
| TV | 0,08 | 3 427 |
| GL | 0,38 | 13 710 |

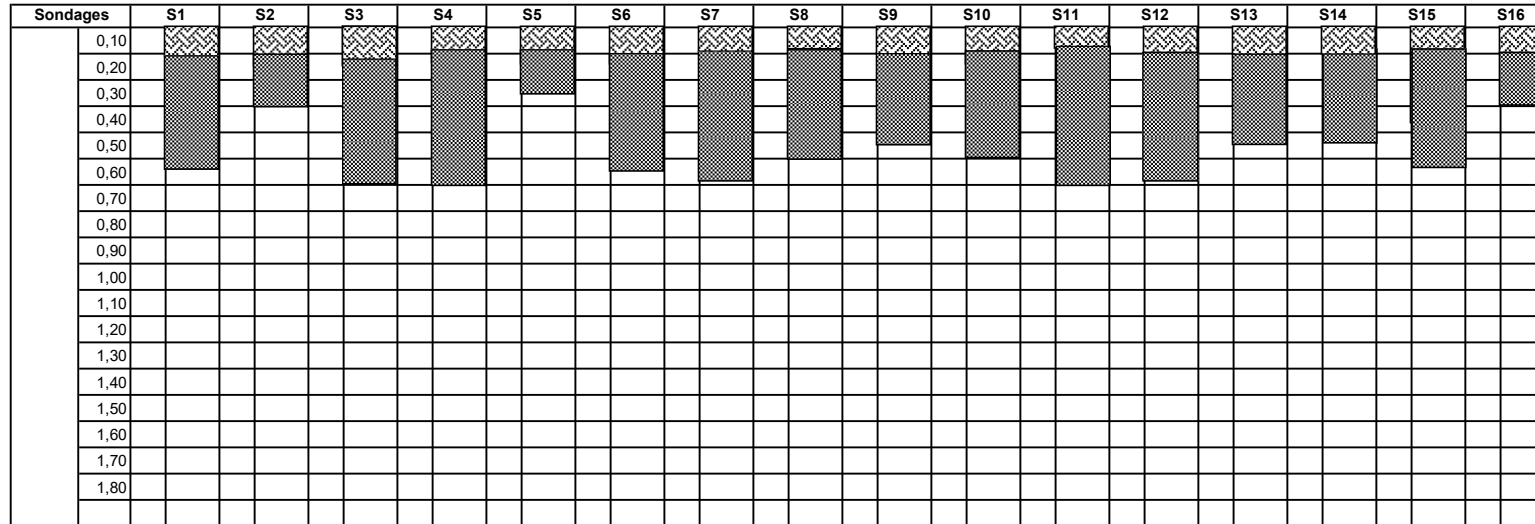
| N° SOND | 1 | 2 | 3 | 4 | 5 | 6 | 7 | 8 | 9 | 10 | 11 | 12 | 13 | 14 | 15 | 16 |
|---------|------|------|------|------|------|------|------|------|------|------|------|------|------|------|------|------|
| TV | 0,05 | 0,05 | 0,05 | 0,10 | 0,10 | 0,10 | 0,10 | 0,10 | 0,10 | 0,10 | 0,05 | 0,05 | 0,10 | 0,10 | 0,10 | 0,10 |
| GL | 0,20 | 0,50 | 0,45 | 0,40 | 0,55 | 0,40 | 0,40 | 0,45 | 0,50 | 0,40 | 0,15 | 0,15 | 0,35 | 0,45 | 0,25 | 0,40 |

CARRIERE GRAVE LATERITIQUE

GITE V PK 29+200

ROUTE : FANA-DIOILA

Coupes des sondages



LEGENDE :

- TERRE VEGETALE
- GRAVE LATERITIQUE

| | Epais. Moy | Volume Theorique |
|----|------------|------------------|
| TV | 0,10 | 4 060 |
| GL | 0,40 | 15 645 |

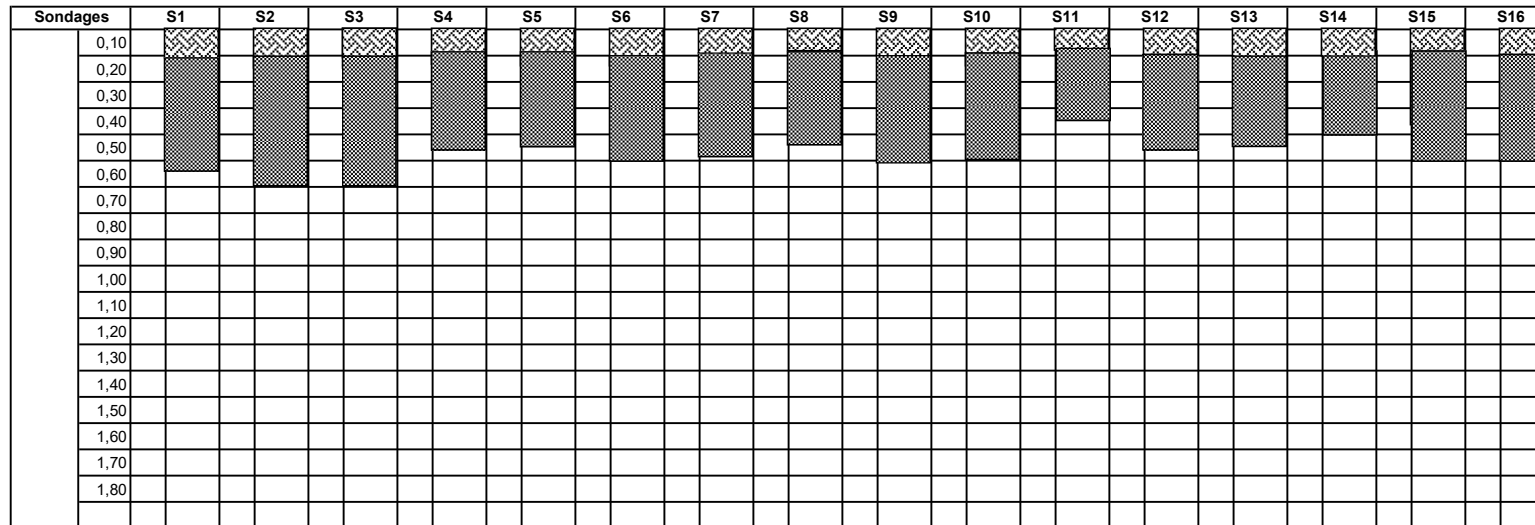
| N° SOND | 1 | 2 | 3 | 4 | 5 | 6 | 7 | 8 | 9 | 10 | 11 | 12 | 13 | 14 | 15 | 16 |
|---------|------|------|------|------|------|------|------|------|------|------|------|------|------|------|------|------|
| TV | 0,10 | 0,10 | 0,10 | 0,10 | 0,10 | 0,10 | 0,10 | 0,10 | 0,10 | 0,10 | 0,10 | 0,10 | 0,10 | 0,10 | 0,10 | 0,10 |
| GL | 0,45 | 0,20 | 0,50 | 0,50 | 0,15 | 0,45 | 0,50 | 0,40 | 0,35 | 0,40 | 0,50 | 0,50 | 0,35 | 0,35 | 0,45 | 0,20 |

CARRIERE GRAVE LATERITIQUE



GITE VI PK 34+200

ROUTE : FANA-DIOILA

Coupes des sondages



LEGENDE :

-  TERRE VEGETALE
-  GRAVE LATERITIQUE

| | Epais. Moy | Volume Theorique |
|----|------------|------------------|
| TV | 0,10 | 2 030 |
| GL | 0,38 | 8 323 |

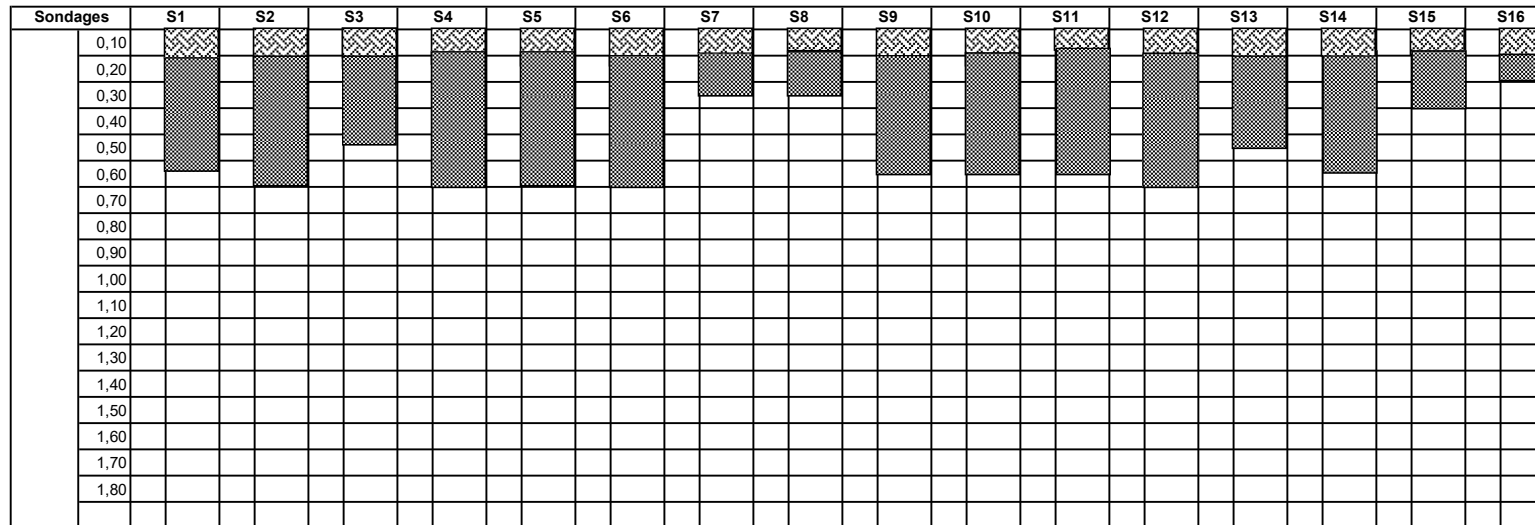
| N° SOND | 1 | 2 | 3 | 4 | 5 | 6 | 7 | 8 | 9 | 10 | 11 | 12 | 13 | 14 | 15 | 16 |
|---------|------|------|------|------|------|------|------|------|------|------|------|------|------|------|------|------|
| TV | 0,10 | 0,10 | 0,10 | 0,10 | 0,10 | 0,10 | 0,10 | 0,10 | 0,10 | 0,10 | 0,10 | 0,10 | 0,10 | 0,10 | 0,10 | 0,10 |
| GL | 0,45 | 0,50 | 0,50 | 0,35 | 0,35 | 0,40 | 0,40 | 0,35 | 0,40 | 0,40 | 0,25 | 0,35 | 0,35 | 0,30 | 0,40 | 0,40 |

CARRIERE GRAVE LATERITIQUE



GITE VII PK 36+000

ROUTE : FANA-DIOILA

Coupes des sondages



LEGENDE :

-  TERRE VEGETALE
-  GRAVE LATERITIQUE

| | Epais. Moy | Volume Theorique |
|----|------------|------------------|
| TV | 0,10 | 3 474 |
| GL | 0,41 | 12 111 |

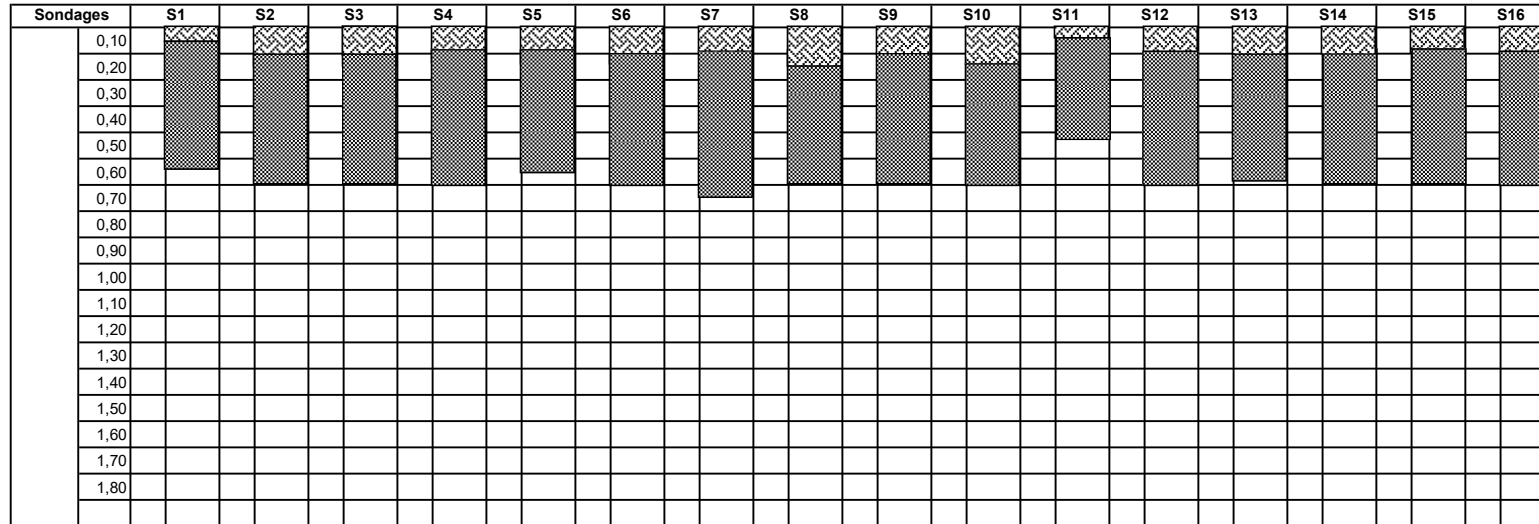
| N° SOND | 1 | 2 | 3 | 4 | 5 | 6 | 7 | 8 | 9 | 10 | 11 | 12 | 13 | 14 | 15 | 16 |
|---------|------|------|------|------|------|------|------|------|------|------|------|------|------|------|------|------|
| TV | 0,10 | 0,10 | 0,10 | 0,10 | 0,10 | 0,10 | 0,10 | 0,10 | 0,10 | 0,10 | 0,10 | 0,10 | 0,10 | 0,10 | 0,10 | 0,10 |
| GL | 0,45 | 0,50 | 0,35 | 0,50 | 0,50 | 0,50 | 0,15 | 0,15 | 0,45 | 0,45 | 0,45 | 0,50 | 0,35 | 0,45 | 0,20 | 0,10 |

CARRIERE GRAVE LATERITIQUE



GITE VIII PK 38+200

ROUTE : FANA-DIOILA

Coupes des sondages



LEGENDE :

-  TERRE VEGETALE
-  GRAVE LATERITIQUE

| | Epais. Moy | Volume Theorique |
|----|------------|------------------|
| TV | 0,10 | 3 468 |
| GL | 0,48 | 15 621 |

| N° SOND | 1 | 2 | 3 | 4 | 5 | 6 | 7 | 8 | 9 | 10 | 11 | 12 | 13 | 14 | 15 | 16 |
|---------|------|------|------|------|------|------|------|------|------|------|------|------|------|------|------|------|
| TV | 0,05 | 0,10 | 0,10 | 0,10 | 0,10 | 0,10 | 0,10 | 0,15 | 0,10 | 0,15 | 0,02 | 0,10 | 0,10 | 0,10 | 0,10 | 0,10 |
| GL | 0,45 | 0,50 | 0,50 | 0,50 | 0,45 | 0,50 | 0,55 | 0,45 | 0,50 | 0,45 | 0,40 | 0,50 | 0,50 | 0,50 | 0,50 | 0,50 |

3- Résumés des graphiques

CHANTIER: ROUTE : FANA - DIOILA 8,50 Km
OBJET : Etudes Géotechniques : Carrières Latéritiques

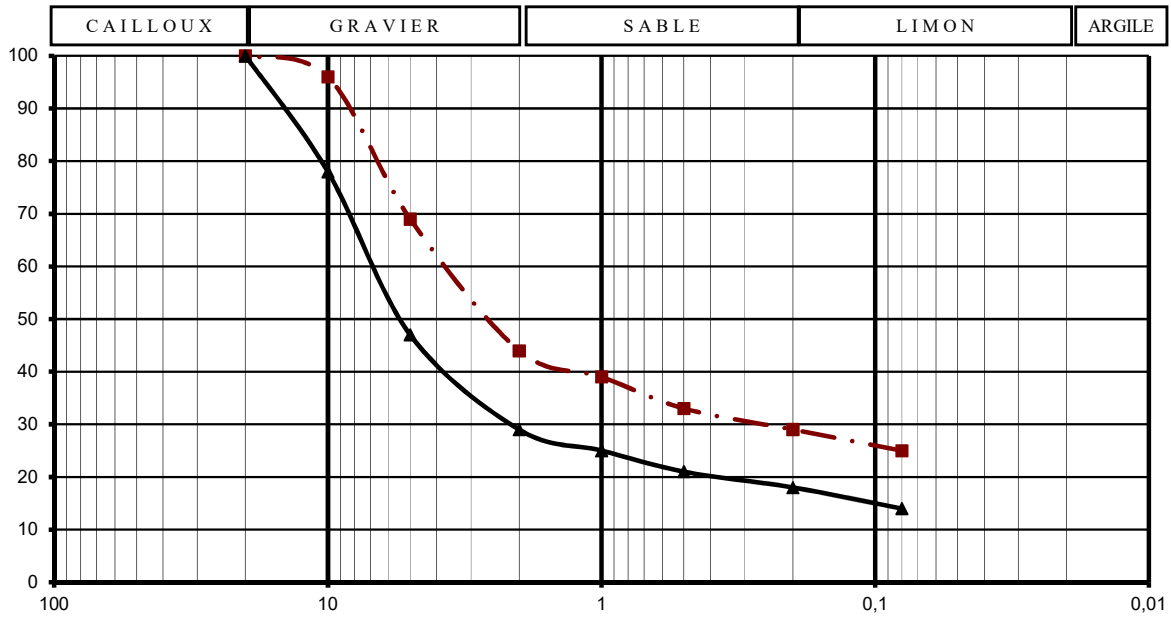
Carrière N° 01

Echantillons: Mélange M1 (Sondage : 1+3+5)

| | | | | |
|----------|-------|----------------|---------|-------|
| LL | 32 | CLASSIFICATION | | |
| IP | 10 | H-R-B | U S C S | R T R |
| %<0,08mm | 10 | A-2-4 | | |
| IG | #REF! | | | |

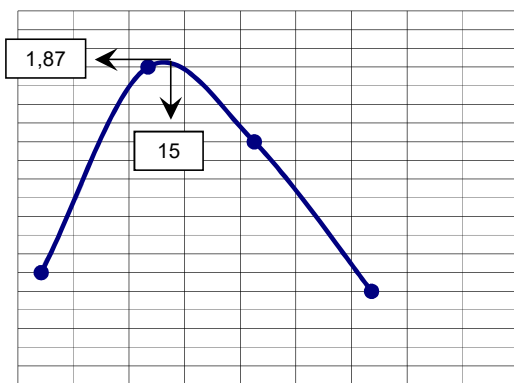
PK : 8+500 GAUCHE

Granulométrie sur matériau

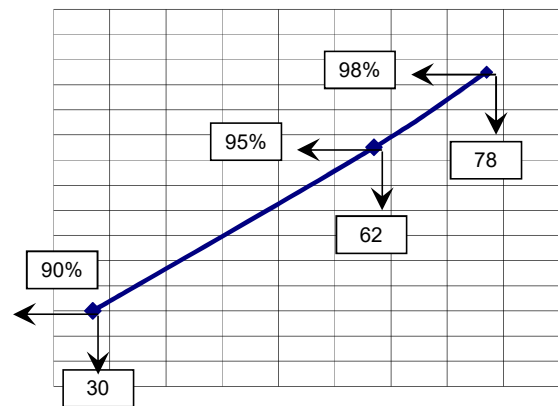


| Optimum Proctor Modifié | Numéro Moule | Nbre de Coups | Compacité | Ds (t/m ³) | CBR | W imbibition | Gonflement |
|---|--------------|---------------|-----------|-------------------------|-----|--------------|------------|
| D _{smax} (t/m ³)= 1,87 | 20 | 55 coups | 115% | 2,15 | 78 | 8,5% | |
| W _{opm} (%)= 15,00% | 21 | 25 coups | 112% | 2,09 | 62 | 8,7% | |
| W _{sd} = | 22 | 10 coups | 105% | 1,96 | 30 | 8,9% | |

Proctor Modifié



Variation CBR en fonction de la compacité



CHANTIER : ROUTE : FANA - DIOILA 8,50 Km

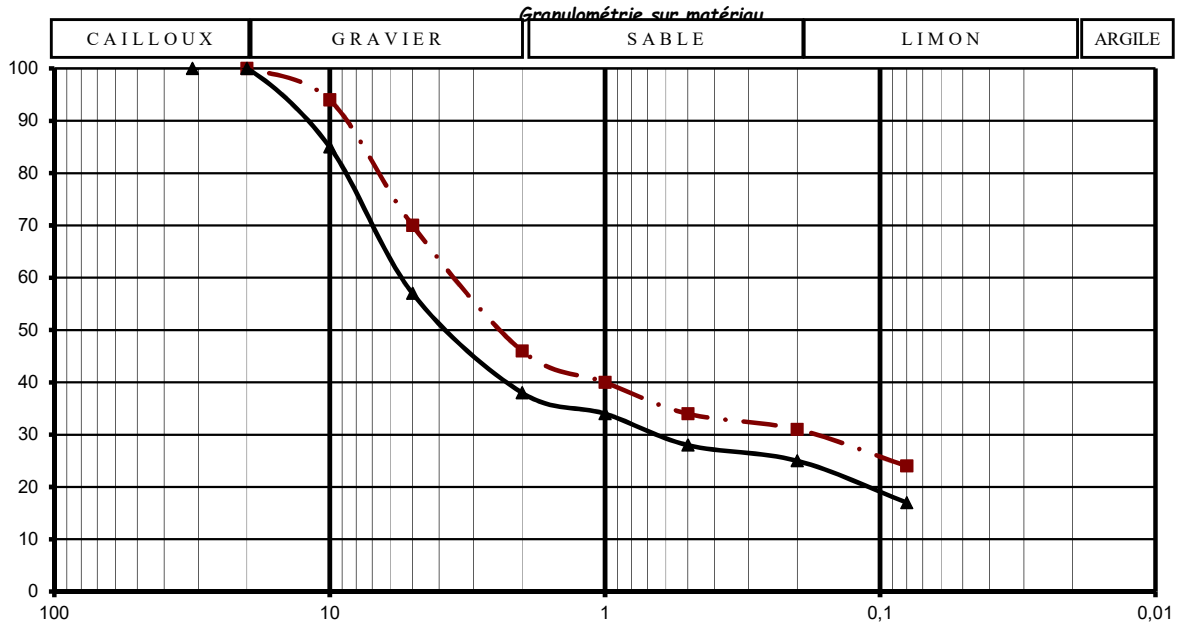
OBJET : Etudes Géotechniques : Carrières Latéritiques

Carrière N° 01

Echantillons: Mélange M2 (Sondage : 12+14+25)

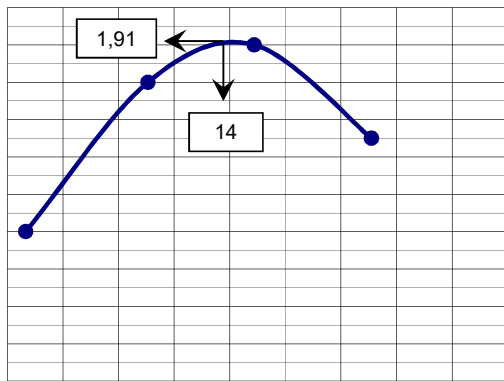
| | | | | |
|----------|----|----------------|------|-----|
| LL | 37 | CLASSIFICATION | | |
| IP | 13 | H-R-B | USCS | RTR |
| %<0,08mm | 22 | A-2-6 | | |
| IG | 0 | | | |

PK : 8+500 GAUCHE

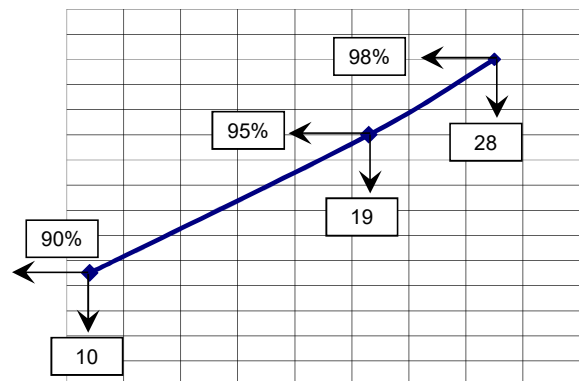


| Optimum Proctor Modifié | Numéro Moule | Nbre de Coups | Compacité | Ds (t/m ³) | CBR | W imbibition | Gonflement |
|--|--------------|---------------|-----------|-------------------------|-----|--------------|------------|
| D _{smax} (t/m ³)= 1,91 | 30 | 55 coups | 108% | 2,06 | 28 | 8,9% | |
| W _{opm} (%)= 14,00% | 31 | 25 coups | 105% | 2,00 | 19 | 9,2% | |
| W _{sd} = | 32 | 10 coups | 99% | 1,89 | 10 | 9,4% | |

Proctor Modifié



Variation CBR en fonction de la compacité



CHANTIER : ROUTE : FANA - DIOILA 15,50 Km

OBJET : Etudes Géotechniques : Carrières Latéritiques

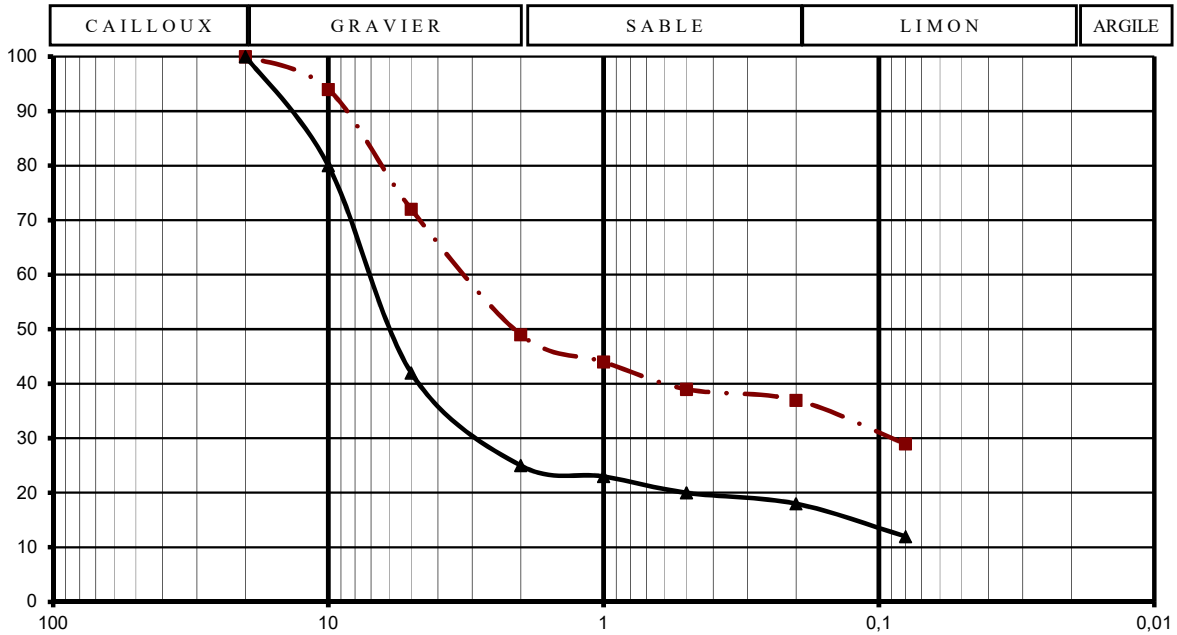
Carrière N° 01

Echantillons: Mélange M1 (Sondage : 1+15)

| | | | | |
|----------|----|----------------|------|-----|
| LL | 33 | CLASSIFICATION | | |
| IP | 10 | H-R-B | USCS | RTR |
| %<0,08mm | 20 | A-2-4 | | |
| IG | 0 | | | |

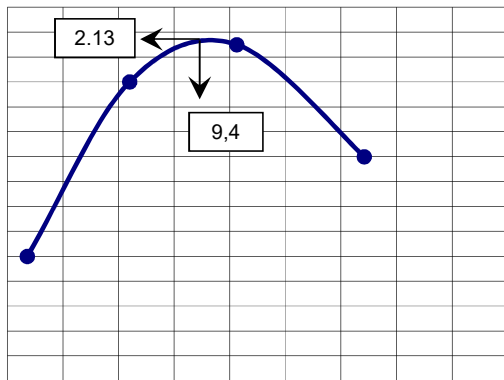
PK : 15+500 DROITE

Granulométrie sur matériau

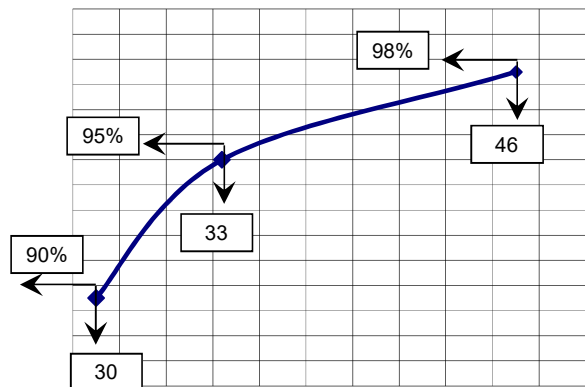


| Optimum Proctor Modifié | Numéro Moule | Nbre de Coups | Compacité | Ds (t/m ³) | CBR | W imbibition | Gonflement |
|--|--------------|---------------|-----------|-------------------------|-----|--------------|------------|
| D _{smax} (t/m ³) = 2,13 | 17 | 55 coups | 96% | 2,05 | 46 | 8,80% | |
| W _{opm} (%) = 9,40% | 18 | 25 coups | 93% | 1,98 | 33 | 9,08% | |
| W _{sd} = | 19 | 10 coups | 88% | 1,87 | 30 | 9,22% | |

Proctor Modifié



Variation CBR en fonction de la compacité



CHANTIER :

OBJET : Etudes Géotechniques : Carrières Latéritiques

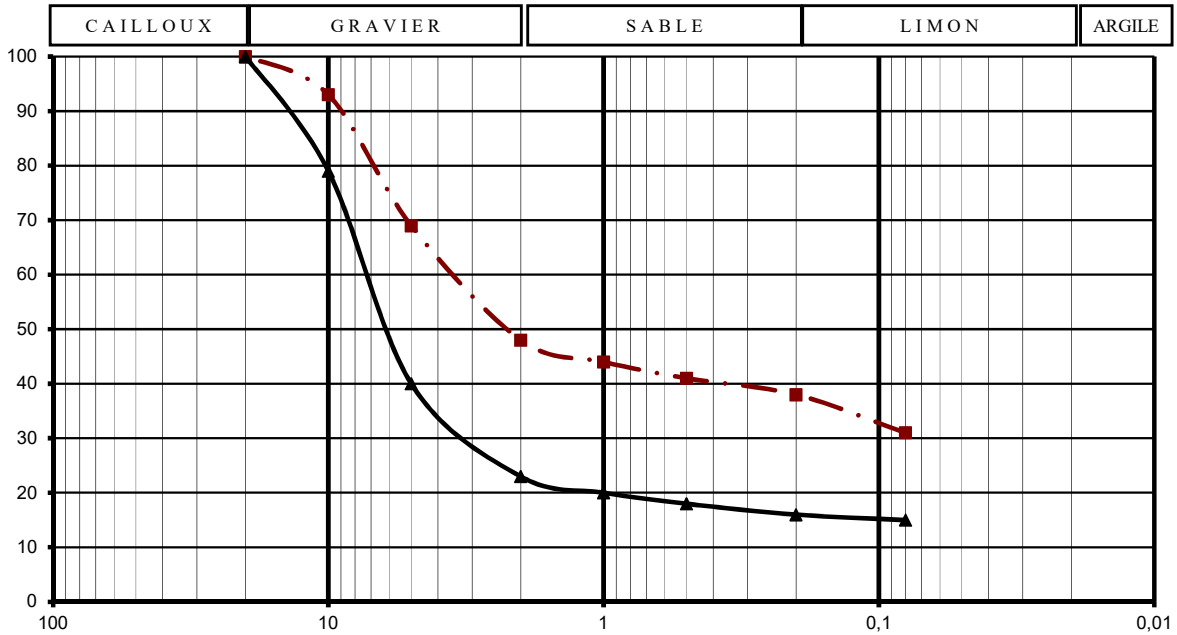
Carrière N° 01

Echantillons: **Mélange M2 (Sondage : 3+8+10+13)**

| | | | | |
|----------|-------|----------------|------|-----|
| LL | 33,5 | CLASSIFICATION | | |
| IP | 11,75 | H-R-B | USCS | RTR |
| %<0,08mm | 16,25 | A-2-6 | | |
| IG | 0 | | | |

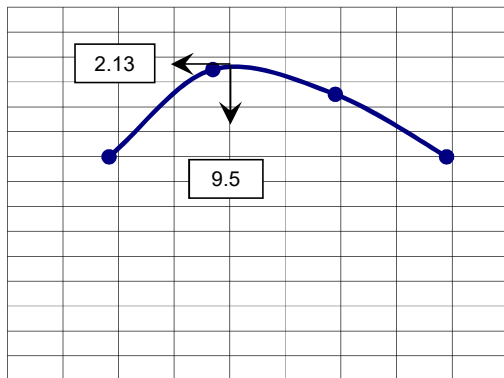
PK : **15+500 DROITE**

Granulométrie sur matériau

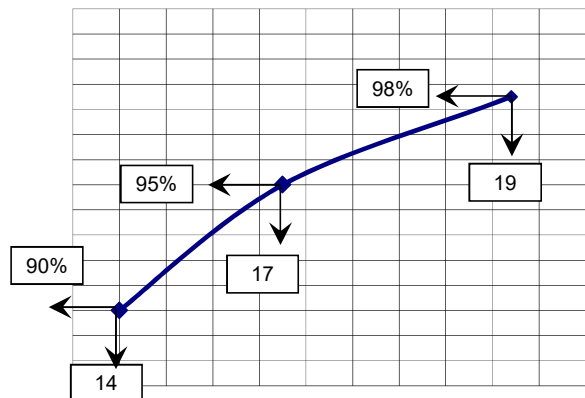


| Optimum Proctor Modifié | Numéro Moule | Nbre de Coups | Compacité | Ds (t/m ³) | CBR | W imbibition | Gonflement |
|--|--------------|---------------|-----------|-------------------------|-----|--------------|------------|
| D _{smax} (t/m ³)= 2,13 | 33 | 55 coups | 95% | 2,03 | 19 | 8,80% | |
| W _{opm} (%)= 9,50% | 34 | 25 coups | 92% | 1,96 | 17 | 9,08% | |
| W _{sd} = | 35 | 10 coups | 87% | 1,86 | 14 | 9,22% | |

Proctor Modifié



Variation CBR en fonction de la compacité



CHANTIER : ROUTE : FANA - DIOILA 19,80 Km

OBJET : Etudes Géotechniques : Carrières Latéritiques

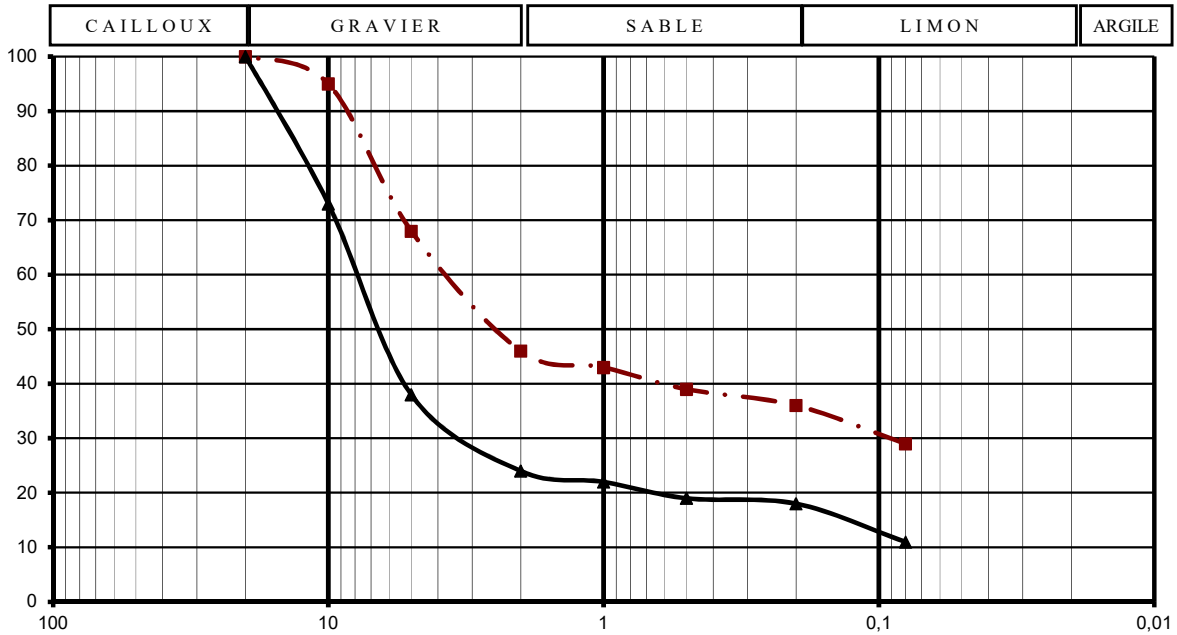
Carrière N° 01

Echantillons: Mélange M1 (Sondage : 4+10)

| | | | | |
|----------|----|----------------|------|-----|
| LL | 29 | CLASSIFICATION | | |
| IP | 11 | H-R-B | USCS | RTR |
| %<0,08mm | 15 | A-2-6 | | |
| IG | 0 | | | |

PK : 19+800 GAUCHE

Granulométrie sur matériau



CHANTIER: ROUTE : FANA - DIOILA 19,80 Km
OBJET : Etudes Géotechniques : Carrières Latéritiques

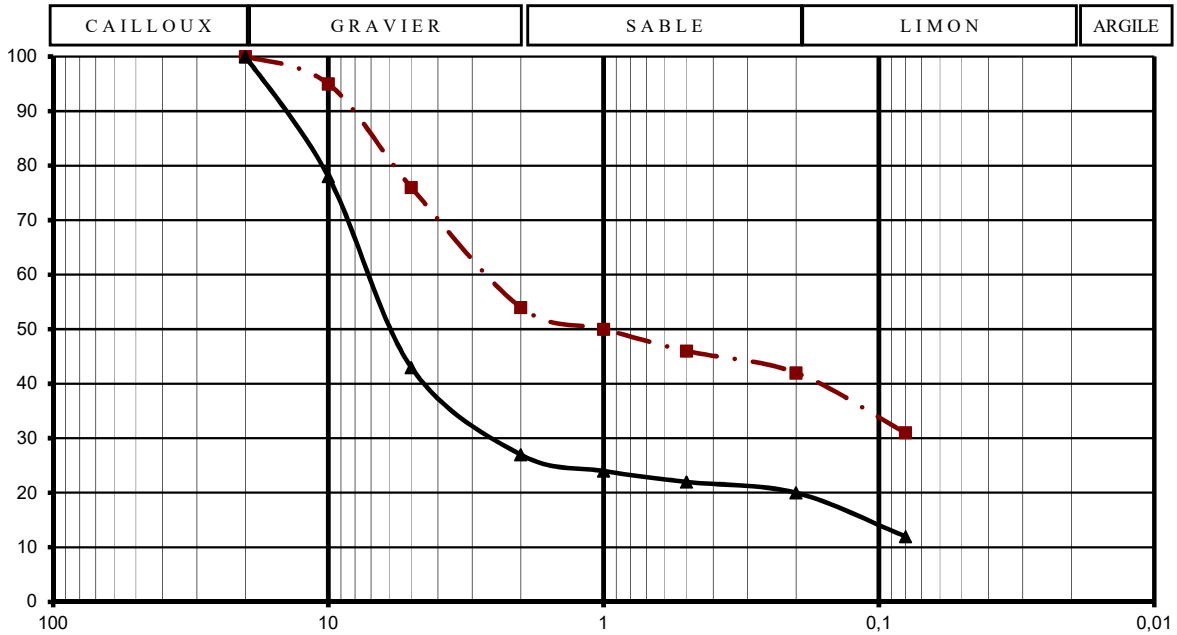
Carrière N° 01

Echantillons: Mélange M2 (Sondage : 7+13+15)

| | | | | |
|----------|----|----------------|------|-----|
| LL | 28 | CLASSIFICATION | | |
| IP | 10 | H-R-B | USCS | RTR |
| %<0,08mm | 20 | A-2-4 | | |
| IG | 0 | | | |

PK : 19+800 GAUCHE

Granulométrie sur matériau



CHANTIER :

OBJET : Etudes Géotechniques : Carrières Latéritiques

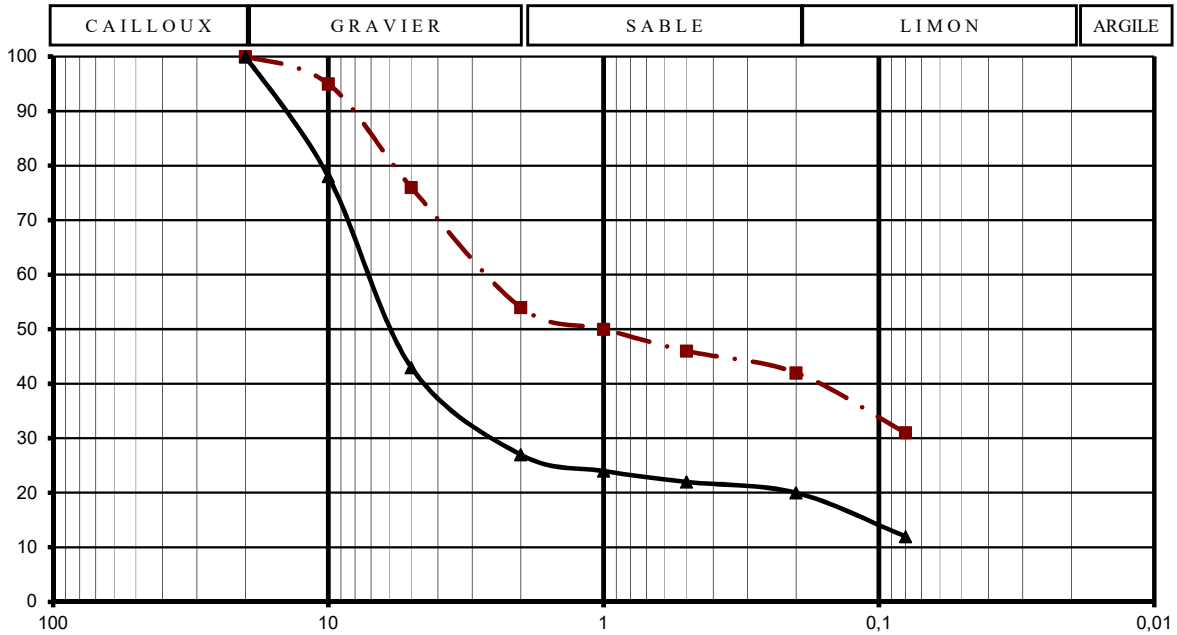
Carrière N° 01

Echantillons: **Mélange M1 (Sondage : 3+8+11+14)**

| | | | | |
|----------|-------|----------------|------|-----|
| LL | 28,75 | CLASSIFICATION | | |
| IP | 9,25 | H-R-B | USCS | RTR |
| %<0,08mm | 19,5 | A-2-4 | | |
| IG | 0 | | | |

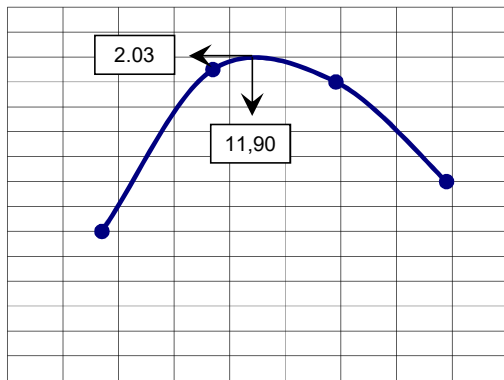
PK : **26+300GAUCHE**

Granulométrie sur matériau

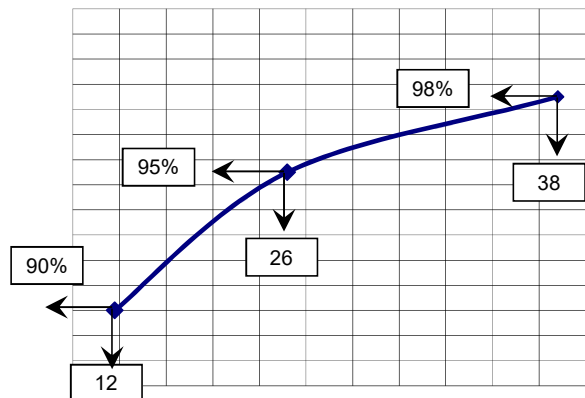


| Optimum Proctor Modifié | Numéro Moule | Nbre de Coups | Compacité | Ds (t/m ³) | CBR | W imbibition | Gonflement |
|--|--------------|---------------|-----------|-------------------------|-----|--------------|------------|
| D _{smax} (t/m ³)= 2,03 | 23 | 55 coups | 100% | 2,03 | 38 | 10,10% | |
| W _{opm} (%)= 11,90% | 24 | 25 coups | 97% | 1,97 | 26 | 10,40% | |
| W _{sd} = | 25 | 10 coups | 92% | 1,86 | 12 | 10,80% | |

Proctor Modifié



Variation CBR en fonction de la compacité



CHANTIER : ROUTE : FANA - DIOILA 26,30 Km

OBJET : Etudes Géotechniques : Carrières Latéritiques

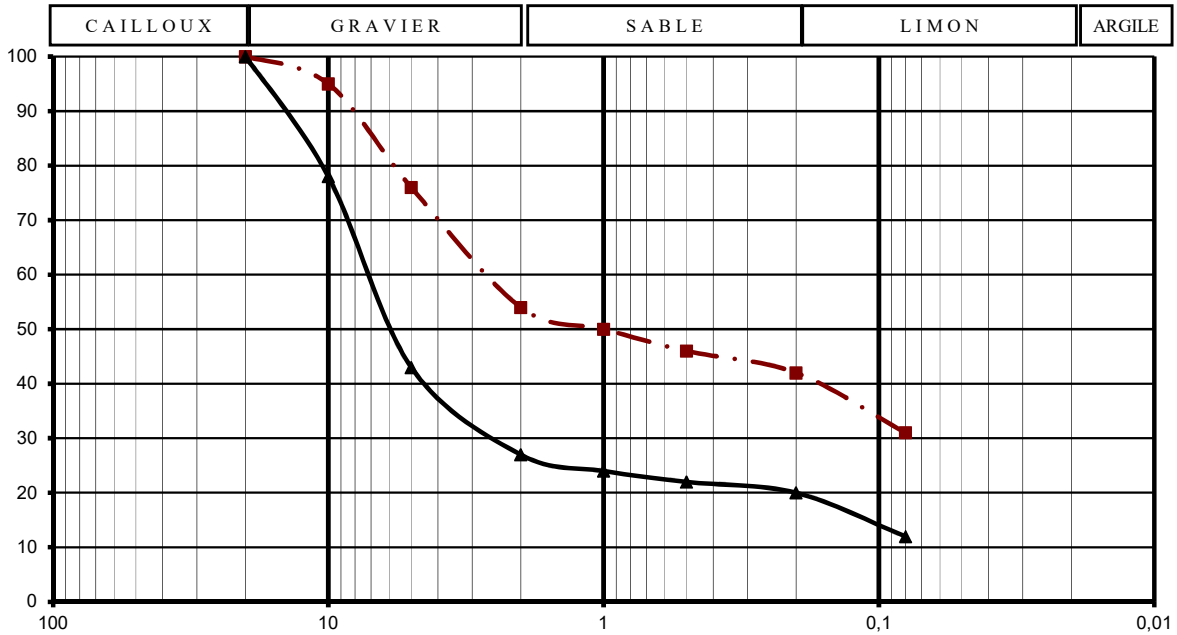
Carrière N° 01

Echantillons: Mélange M2 (Sondage : 6+16)

| | | | | |
|----------|------|----------------|------|-----|
| LL | 34,5 | CLASSIFICATION | | |
| IP | 11 | H-R-B | USCS | RTR |
| %<0,08mm | 20,5 | A-2-6 | | |
| IG | 0 | | | |

PK : 26+300GAUCHE

Granulométrie sur matériau



CHANTIER :

OBJET : Etudes Géotechniques : Carrières Latéritiques

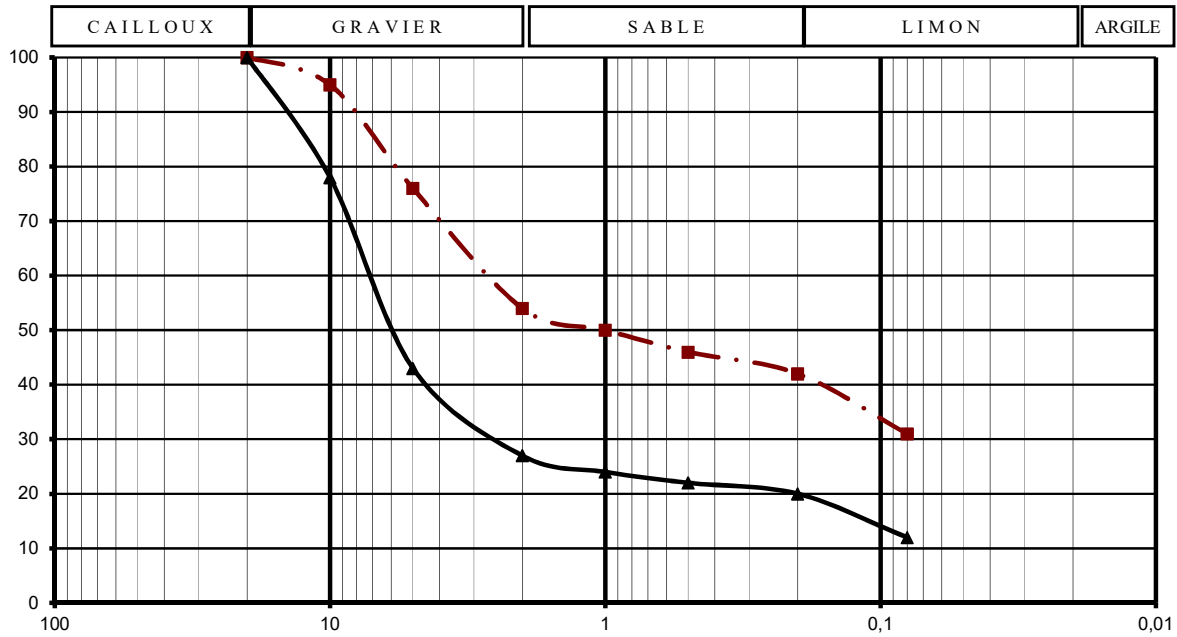
Carrière N° 01

Echantillons: Mélange M1 (Sondage : 3+6+8+12)

| | | | | |
|----------|----|----------------|------|-----|
| LL | 27 | CLASSIFICATION | | |
| IP | 9 | H-R-B | USCS | RTR |
| %<0,08mm | 22 | A-2-4 | | |
| IG | 0 | | | |

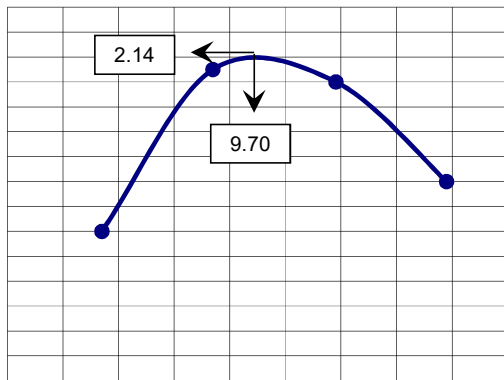
PK : 29+200GAUCHE

Granulométrie sur matériau

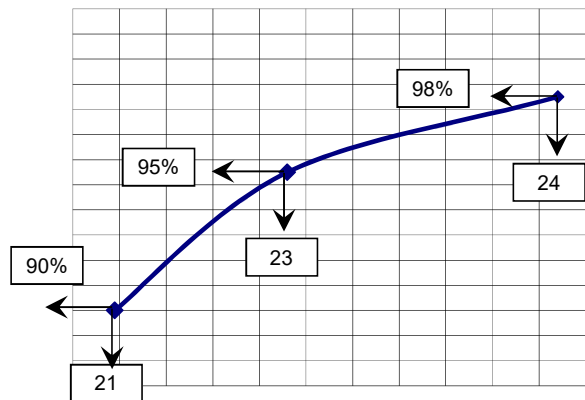


| Optimum Proctor Modifié | Numéro Moule | Nbre de Coups | Compacité | Ds (t/m ³) | CBR | W imbibition | Gonflement |
|---|--------------|---------------|-----------|-------------------------|-----|--------------|------------|
| D _{smax} (t/m ³) = 2,14 | 23 | 55 coups | 95% | 2,03 | 24 | 10,10% | |
| W _{opm} (%) = 10,30% | 24 | 25 coups | 92% | 1,97 | 23 | 10,40% | |
| W _{sd} = | 25 | 10 coups | 87% | 1,86 | 21 | 10,80% | |

Proctor Modifié



Variation CBR en fonction de la compacité



CHANTIER : ROUTE : FANA - DIOILA 29,20 Km

OBJET : Etudes Géotechniques : Carrières Latéritiques

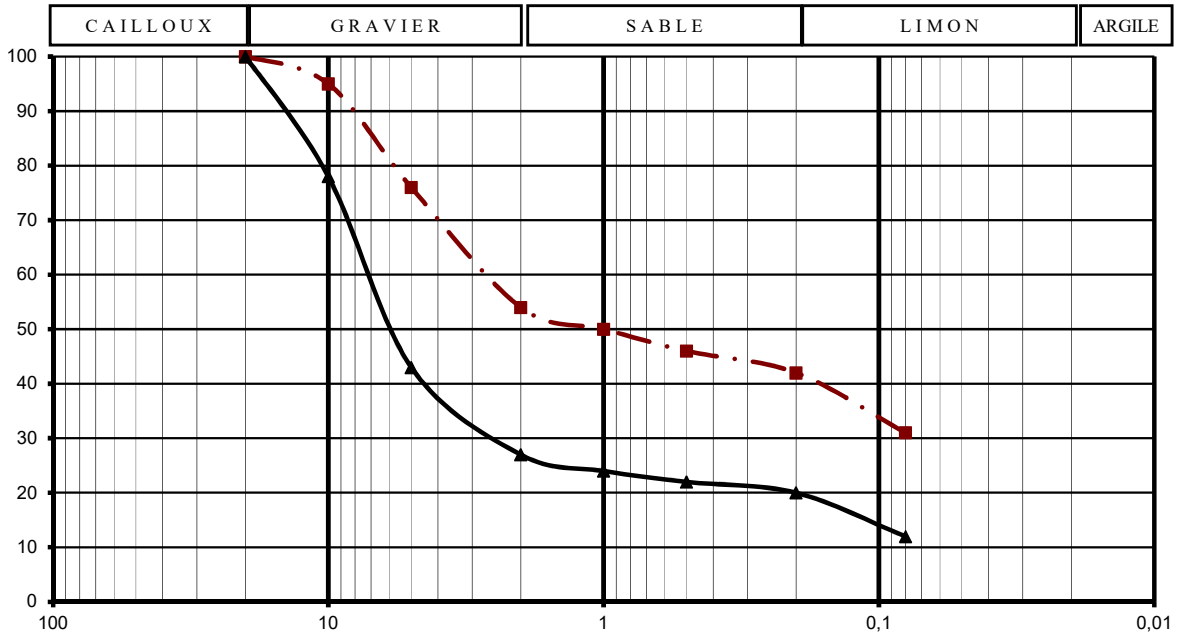
Carrière N° 01

Echantillons: Mélange M2 (Sondage : 1)

| | | | | |
|----------|----|----------------|------|-----|
| LL | 35 | CLASSIFICATION | | |
| IP | 13 | H-R-B | USCS | RTR |
| %<0,08mm | 19 | A-2-6 | | |
| IG | 0 | | | |

PK : 29+200GAUCHE

Granulométrie sur matériau



CHANTIER : ROUTE : FANA - DIOILA 34,20 Km

OBJET : Etudes Géotechniques : Carrières Latéritiques

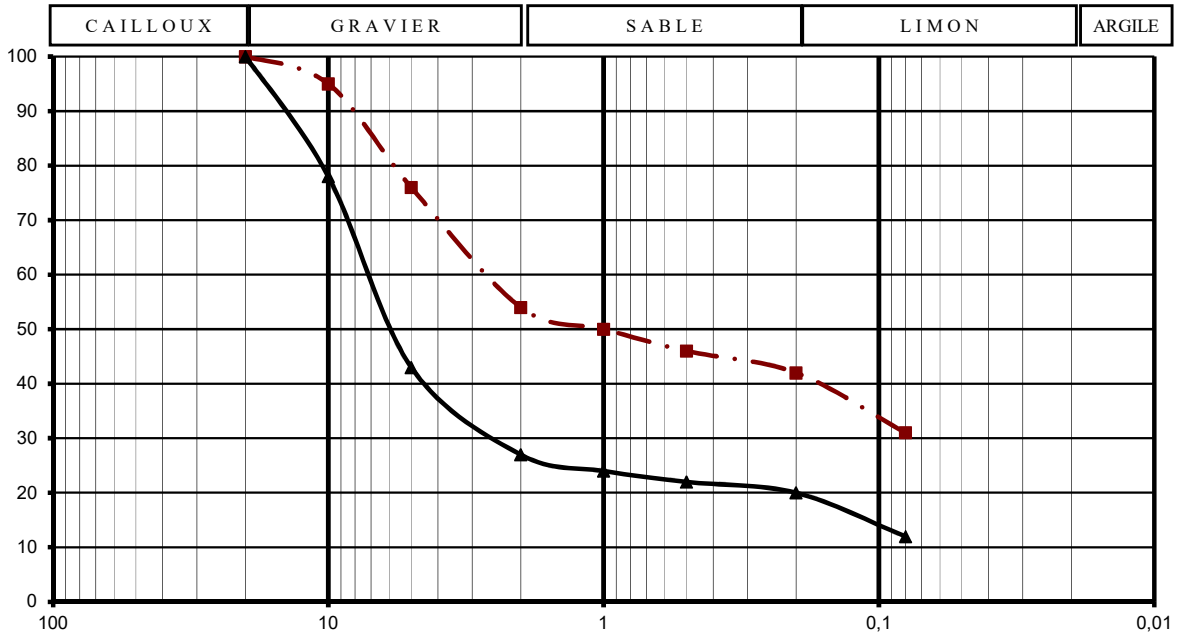
Carrière N° 01

Echantillons: Mélange M1 (Sondage : 2+4+14+16)

| | | | | |
|----------|------|----------------|------|-----|
| LL | 29 | CLASSIFICATION | | |
| IP | 8,75 | H-R-B | USCS | RTR |
| %<0,08mm | 20,5 | A-2-4 | | |
| IG | 0 | | | |

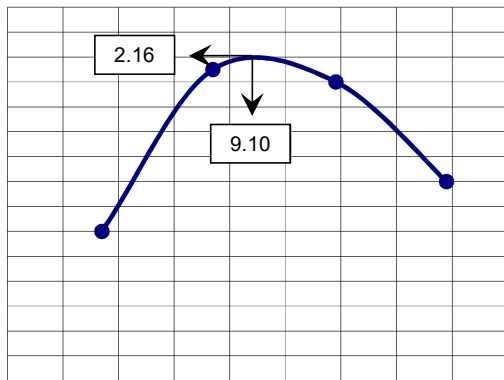
PK : 34+200GAUCHE

Granulométrie sur matériau

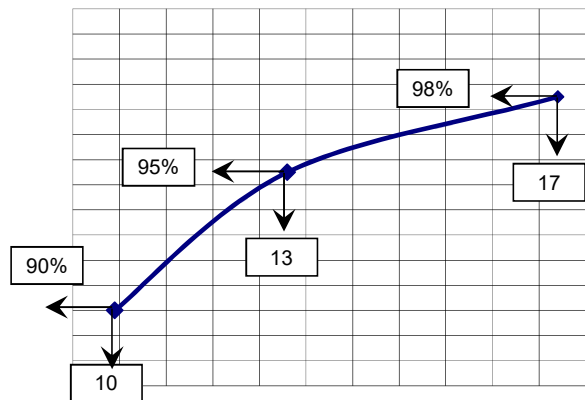


| Optimum Proctor Modifié | Numéro Moule | Nbre de Coups | Compacité | Ds (t/m ³) | CBR | W imbibition | Gonflement |
|--|--------------|---------------|-----------|-------------------------|-----|--------------|------------|
| D _{smax} (t/m ³) = 2,16 | 23 | 55 coups | 94% | 2,03 | 17 | 10,10% | |
| W _{opm} (%) = 9,10% | 24 | 25 coups | 91% | 1,97 | 13 | 10,40% | |
| W _{sd} = | 25 | 10 coups | 86% | 1,86 | 10 | 10,80% | |

Proctor Modifié



Variation CBR en fonction de la compacité



CHANTIER: ROUTE : FANA - DIOILA 34,20 Km

OBJET : Etudes Géotechniques : Carrières Latéritiques

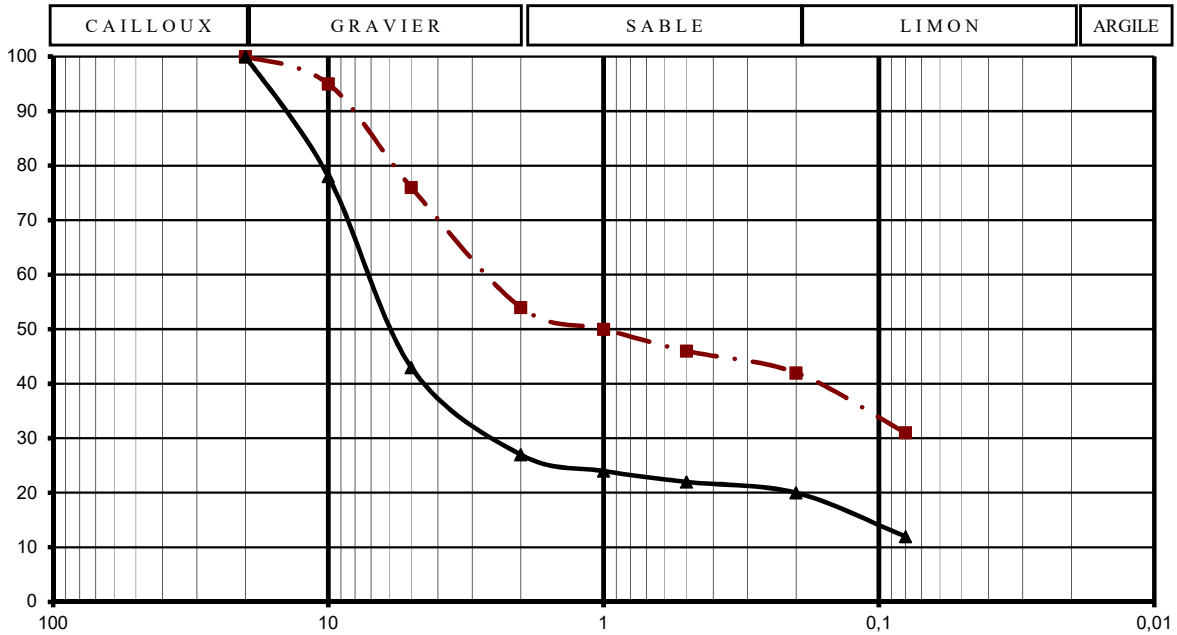
Carrière N° 01

Echantillons: Mélange M2 (Sondage : 6+7)

| | | | | |
|----------|------|----------------|------|-----|
| LL | 32 | CLASSIFICATION | | |
| IP | 11 | H-R-B | USCS | RTR |
| %<0,08mm | 27,5 | A-2-6 | | |
| IG | 0 | | | |

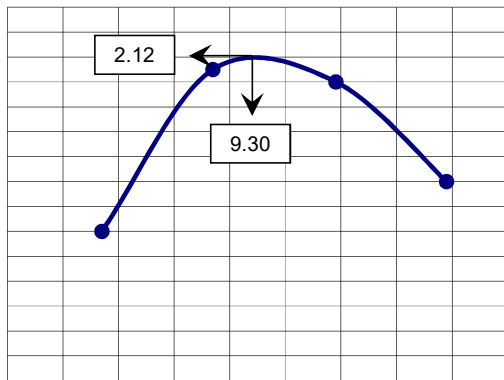
PK : 34+200GAUCHE

Granulométrie sur matériau

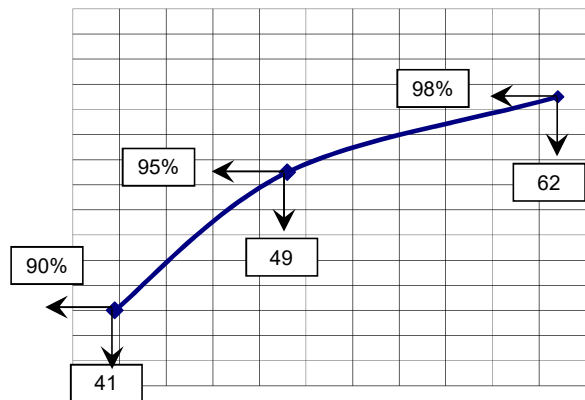


| Optimum Proctor Modifié | Numéro Moule | Nbre de Coups | Compacité | Ds (t/m ³) | CBR | W imbibition | Gonflement |
|---|--------------|---------------|-----------|-------------------------|-----|--------------|------------|
| D _{smax} (t/m ³)= 2,12 | 23 | 55 coups | 96% | 2,03 | 62 | 10,10% | |
| W _{opm} (%)= 9,30% | 24 | 25 coups | 93% | 1,97 | 49 | 10,40% | |
| W _{sd} = | 25 | 10 coups | 88% | 1,86 | 41 | 10,80% | |

Proctor Modifié



Variation CBR en fonction de la compacité



CHANTIER :

OBJET : Etudes Géotechniques : Carrières Latéritiques

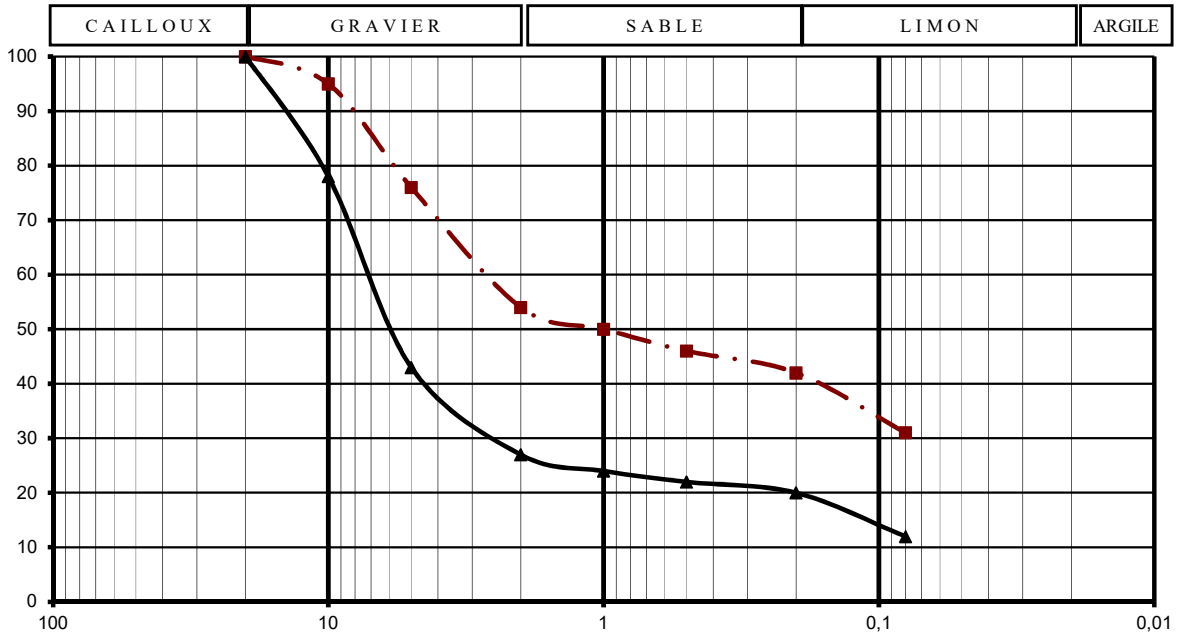
Carrière N° 01

Echantillons: **Mélange M1 (Sondage : 2+4+12)**

| | | | | |
|----------|----|----------------|------|-----|
| LL | 37 | CLASSIFICATION | | |
| IP | 14 | H-R-B | USCS | RTR |
| %<0,08mm | 22 | A-2-6 | | |
| IG | 0 | | | |

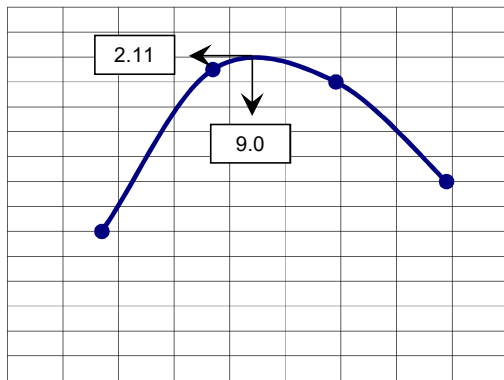
PK : **36+000GAUCHE**

Granulométrie sur matériau

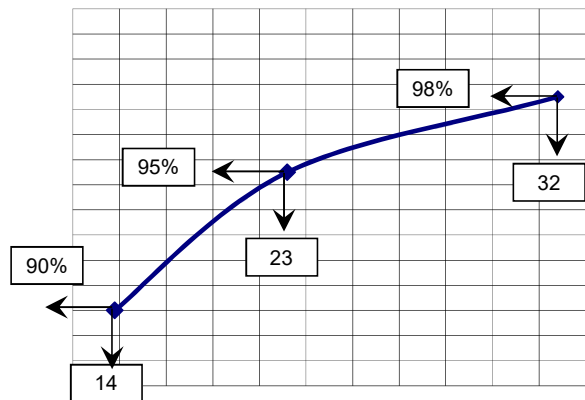


| Optimum Proctor Modifié | Numéro Moule | Nbre de Coups | Compacité | Ds (t/m ³) | CBR | W imbibition | Gonflement |
|--|--------------|---------------|-----------|-------------------------|-----|--------------|------------|
| D _{smax} (t/m ³)= 2,11 | 23 | 55 coups | 96% | 2,03 | 32 | 10,10% | |
| W _{opm} (%)= 9,50% | 24 | 25 coups | 93% | 1,97 | 23 | 10,40% | |
| W _{sd} = | 25 | 10 coups | 88% | 1,86 | 14 | 10,80% | |

Proctor Modifié



Variation CBR en fonction de la compacité



CHANTIER: ROUTE : FANA - DIOILA 36,0 Km
OBJET : Etudes Géotechniques : Carrières Latéritiques

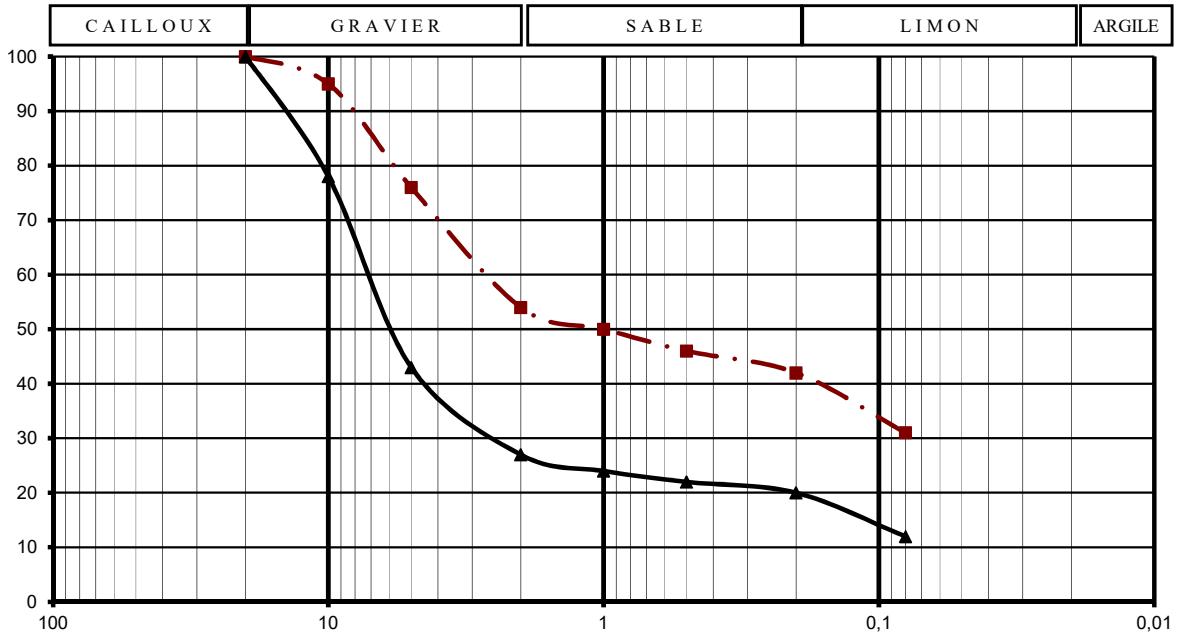
Carrière N° 01

Echantillons: Mélange M2 (Sondage : 8+10+15)

| | | | | |
|----------|----|----------------|------|-----|
| LL | 32 | CLASSIFICATION | | |
| IP | 11 | H-R-B | USCS | RTR |
| %<0,08mm | 20 | A-2-6 | | |
| IG | 0 | | | |

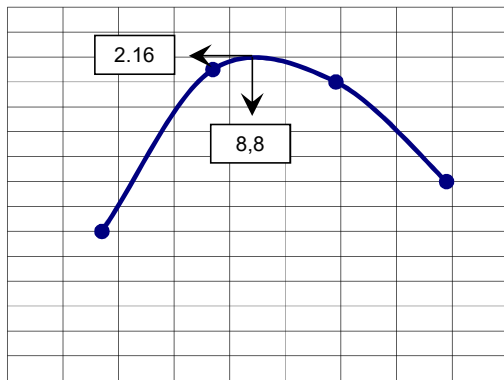
PK : 36+000GAUCHE

Granulométrie sur matériau

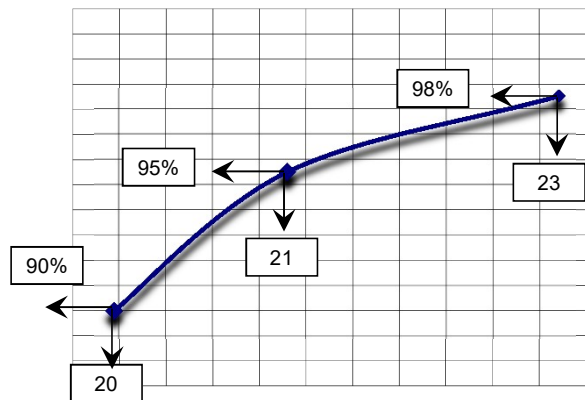


| Optimum Proctor Modifié | Numéro Moule | Nbre de Coups | Compacité | Ds (t/m ³) | CBR | W imbibition | Gonflement |
|---|--------------|---------------|-----------|-------------------------|-----|--------------|------------|
| D _{smax} (t/m ³)= 2,16 | 23 | 55 coups | 94% | 2,03 | 23 | 10,10% | |
| W _{opm} (%)= 8,80% | 24 | 25 coups | 91% | 1,97 | 21 | 10,40% | |
| W _{sd} = | 25 | 10 coups | 86% | 1,86 | 20 | 10,80% | |

Proctor Modifié



Variation CBR en fonction de la compacité



CHANTIER :

OBJET : Etudes Géotechniques : Carrières Latéritiques

Carrière N° 01

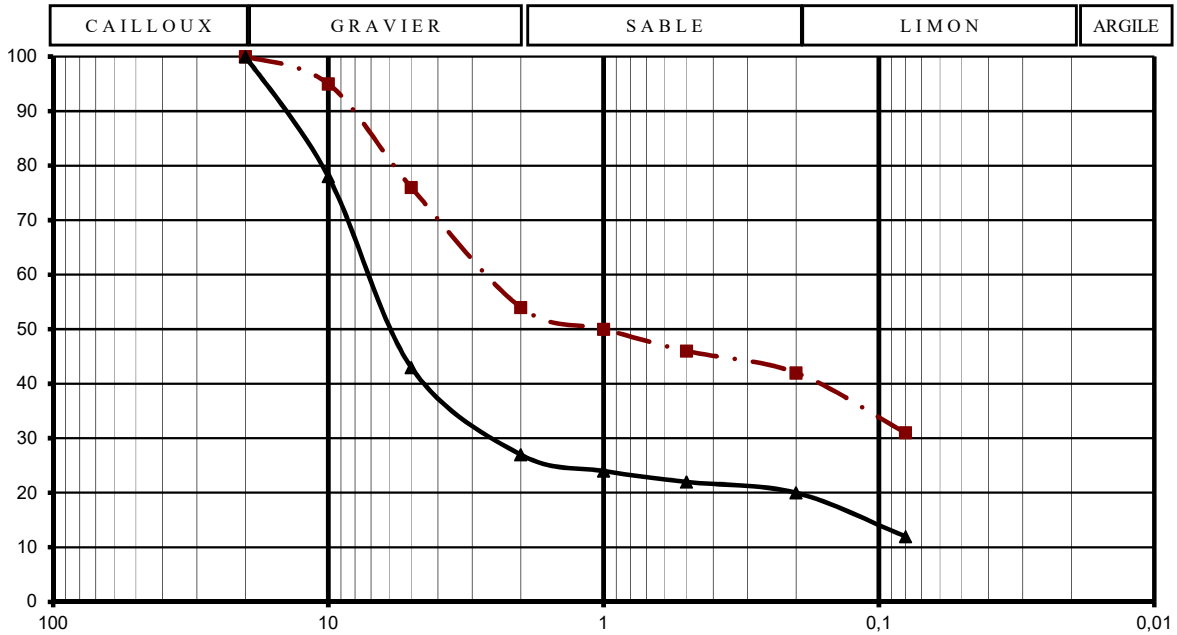
Echantillons: **Mélange M1 (Sondage : 5+14)**

| | | | | |
|----------|-----------|----------------|------|-----|
| LL | 30 | CLASSIFICATION | | |
| IP | 11 | H-R-B | USCS | RTR |
| %<0,08mm | 26 | A-2-6 | | |
| IG | 0 | | | |

PK : **38+200GAUCHE**

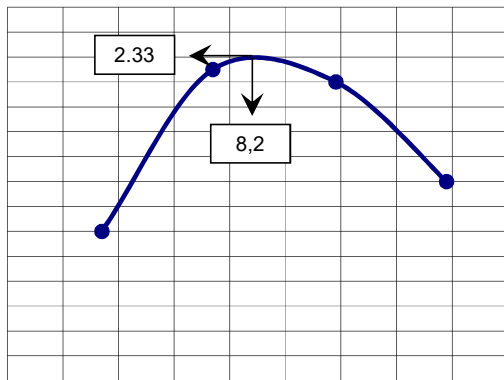
Date :

Granulométrie sur matériau

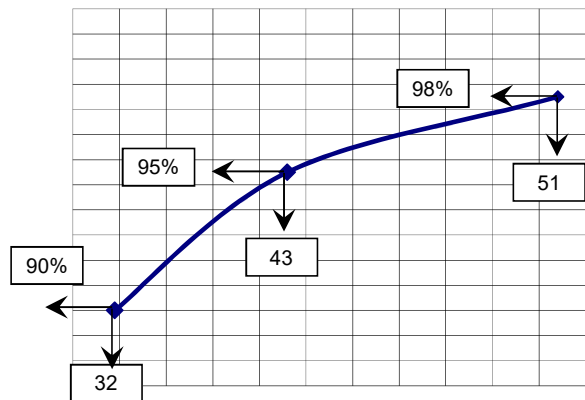


| Optimum Proctor Modifié | Numéro Moule | Nbre de Coups | Compacité | Ds (t/m ³) | CBR | W imbibition | Gonflement |
|--|--------------|---------------|-----------|-------------------------|-----|--------------|------------|
| D _{smax} (t/m ³)= 2,23 | 23 | 55 coups | 91% | 2,03 | 51 | 10,10% | |
| W _{opm} (%)= 8,20% | 24 | 25 coups | 88% | 1,97 | 43 | 10,40% | |
| W _{sd} = | 25 | 10 coups | 83% | 1,86 | 32 | 10,80% | |

Proctor Modifié



Variation CBR en fonction de la compacité



CHANTIER :

OBJET : Etudes Géotechniques : Carrières Latéritiques

Carrière N° 01

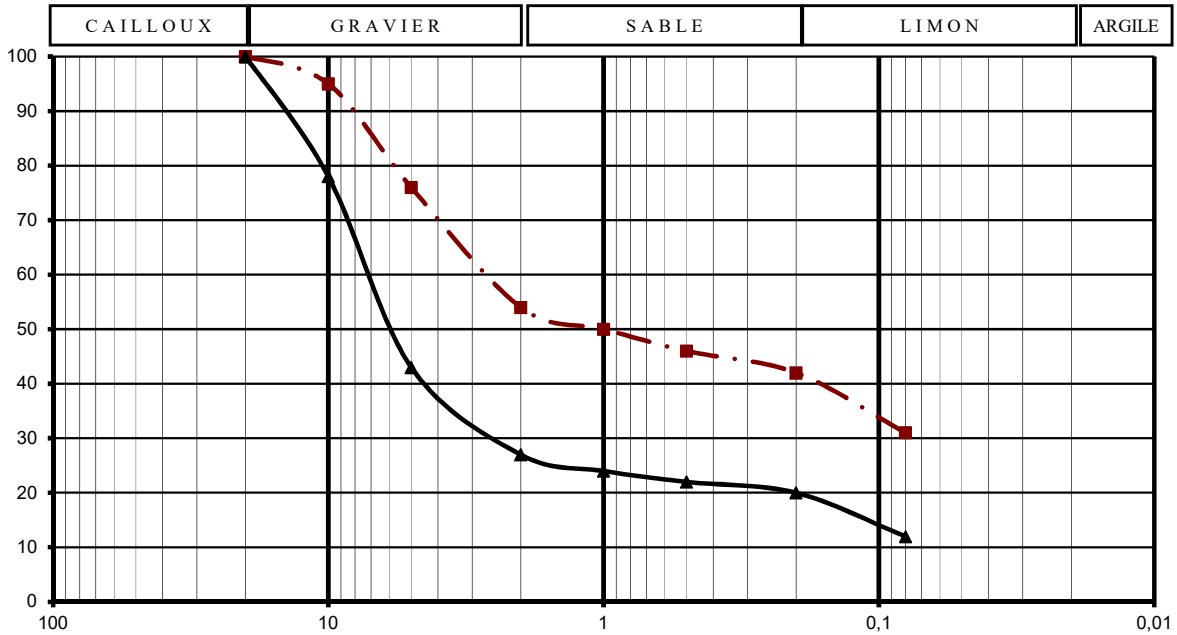
Echantillons: **Mélange M2 (Sondage : 1+3+7+12)**

| | | | | |
|----------|-------|----------------|------|-----|
| LL | 27 | CLASSIFICATION | | |
| IP | 8,5 | H-R-B | USCS | RTR |
| %<0,08mm | 21,75 | A-2-4 | | |
| IG | 0 | | | |

PK : **38+200GAUCHE**

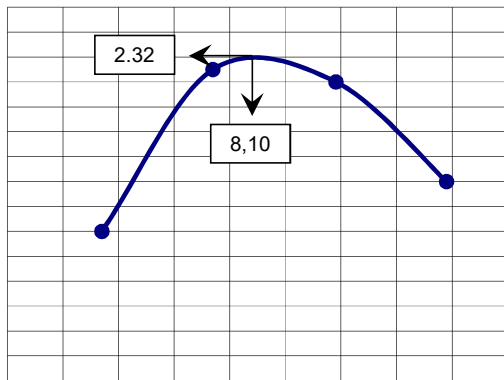
Date :

Granulométrie sur matériau

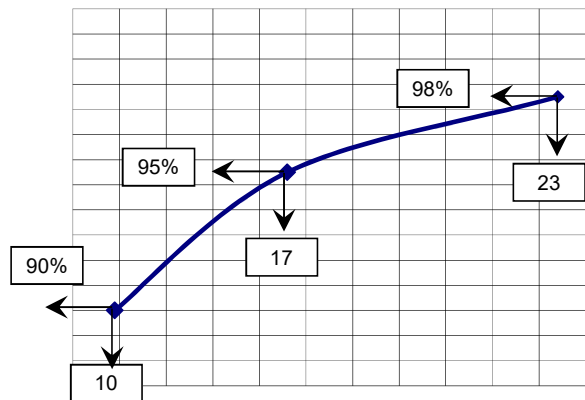


| Optimum Proctor Modifié | Numéro Moule | Nbre de Coups | Compacité | Ds (t/m ³) | CBR | W imbibition | Gonflement |
|--|--------------|---------------|-----------|-------------------------|-----|--------------|------------|
| D _{smax} (t/m ³)= 2,32 | 23 | 55 coups | 88% | 2,03 | 23 | 10,10% | |
| W _{opm} (%)= 8,10% | 24 | 25 coups | 85% | 1,97 | 17 | 10,40% | |
| W _{sd} = | 25 | 10 coups | 80% | 1,86 | 10 | 10,80% | |

Proctor Modifié



Variation CBR en fonction de la compacité



4- Tableaux récapitulatifs des résultats des essais sur les emprunts

Tableau 76 : Récapitulatifs des essais géotechniques

| DESIGNATION | GRANULOMETRIE % DE PASSANT A (mm) | | | | | | | LIMITES D'ATTERBERG | | CLASSIFICATION H R B | PROCTOR MODIFIE | | C. B. R A % DE COMPACITE | | | |
|--------------------------------------|-----------------------------------|----|----|----|----|----|-----|---------------------|----|----------------------|-----------------|------|--------------------------|------|------|-----|
| | 31.5 | 20 | 10 | 5 | 2 | 1 | 0.5 | 0.08 | LL | | IP | DSM | Wopm | 92 % | 95 % | 98% |
| Emprunt 1 de Bamako-Ségou : PK 8+500 | | | | | | | | | | | | | | | | |
| PK 8+500 (S3 | 100 | 94 | 77 | 50 | 31 | 25 | 19 | 11 | 32 | 9 | A-2-4 | | | | | |
| PK 8+500 (S5 | 98 | 85 | 65 | 41 | 23 | 19 | 14 | 8 | 31 | 10 | A-2-4 | | | | | |
| PK 8+500 (S12 | 97 | 93 | 75 | 54 | 36 | 32 | 28 | 21 | 33 | 12 | A-2-6 | | | | | |
| PK 8+500 (S14 | 100 | 94 | 81 | 62 | 46 | 42 | 36 | 29 | 39 | 15 | A-2-6 | | | | | |
| PK 8+500 (S15 | 100 | 93 | 78 | 50 | 45 | 31 | 28 | 16 | 40 | 12 | A-2-6 | | | | | |
| PK 8+500 (S1 | 100 | 91 | 75 | 49 | 30 | 24 | 16 | 10 | 32 | 10 | A-2-4 | | | | | |
| PK 8+500 | 99 | 90 | 79 | 48 | 28 | 23 | 16 | 10 | 32 | 10 | A-2-4(O) | 1.87 | 15 | 30 | 62 | 78 |
| PK 8+500 (M2) S12+S | 99 | 93 | 78 | 55 | 42 | 35 | 31 | 22 | 37 | 13 | A-2-6(0) | 1.91 | 14 | 10 | 19 | 28 |
| Emprunt 2 de Ségou-Fana: PK 15+500 | | | | | | | | | | | | | | | | |
| | 100 | 95 | 74 | 44 | 28 | 27 | 26 | 20 | 33 | 10 | A-2-4 | | | | | |
| PK 15+500 (S3 | 97 | 90 | 67 | 34 | 19 | 16 | 14 | 13 | 34 | 12 | A-2-6 | | | | | |
| PK 15+500 (S8 | 100 | 72 | 37 | 24 | 22 | 20 | 20 | 16 | 35 | 13 | A-2-6 | | | | | |

| | | | | | | | | | | | | | | | | |
|--------------------------------------|-------|------|-------|----|-------|-------|-------|-------|------|--------|----------|------|-----|----|----|----|
| PK 15+500 (S10) | 98 | 80 | 63 | 37 | 23 | 22 | 21 | 16 | 34 | 1 1 | A-2-6 | | | | | |
| PK 15+500 (S13) | 100 | 90 | 70 | 49 | 35 | 31 | 28 | 20 | 32 | 1 1 | A-2-6 | | | | | |
| PK 15+500 (S15) | 98 | 90 | 67 | 44 | 29 | 27 | 26 | 20 | 33 | 1 0 | A-2-4 | | | | | |
| PK 15+500 (M1) S1+S15 | 99 | 92.5 | 70.5 | 44 | 28.5 | 27 | 26 | 20 | 33 | 1 0 | A-2-4 | 2.13 | 9.4 | 30 | 33 | 46 |
| PK 15+500 (M2) S3+S8+S10+S13 | 98.75 | 83 | 59.25 | 36 | 24.75 | 22.25 | 20.75 | 16.25 | 33.5 | 11.75 | A-2-6 | 2.13 | 9.5 | 14 | 17 | 19 |
| Emprunt 3 de Fana-Nangola: Pk 19+800 | | | | | | | | | | | | | | | | |
| PK 19+800 (S4) | | 96 | 80 | 49 | 36 | 31 | 28 | 15 | 27 | 11 | A-2-6(O) | | | | | |
| PK 19+800 (S7) | 100 | 94 | 81 | 55 | 36 | 32 | 30 | 20 | 27 | 9 | A-2-4 | | | | | |
| PK 19+800 (S8) | 100 | 95 | 85 | 60 | 37 | 34 | 32 | 24 | 27 | 10 | A-2-4(O) | | | | | |
| PK 19+800 (S10) | 100 | 94 | 83 | 52 | 28 | 25 | 23 | 14 | 29 | 11 | A-2-6(O) | | | | | |
| PK 19+800 (S13) | 100 | 93 | 71 | 42 | 25 | 22 | 20 | 13 | 29 | 10 | A-2-4(O) | | | | | |
| PK 19+800 (S15) | 100 | 94 | 76 | 54 | 34 | 33 | 30 | 28 | 28 | 10 | A-2-4(O) | | | | | |
| PK 19+80 | | 95 | 82 | 51 | 32 | 28 | 26 | 15 | 29 | 11 | A-2-6(O) | 2.29 | 9 | 13 | 19 | 42 |
| PK 19+800 | | 94 | 76 | 50 | 32 | 29 | 27 | 20 | 28 | 10 | A-2-4(O) | 2.32 | 8 | 27 | 32 | 53 |
| Emprunt 4 de Nangola : PK 26+300 | | | | | | | | | | | | | | | | |

| | | | | | | | | | | | | | | | | |
|---|---------|-----------|-----------|--------|-----------|-----------|------|----------|-----------|------|----------|------|---------|--------|--------|--------|
| | | | | | | | | | | | | | | | | |
| PK 26+300 (S3) | | 91 | 60 | 29 | 14 | 12 | 11 | 8 | 29 | 8 | A-2-4(O) | | | | | |
| PK 26+300 (S6) | 10 0 | 99 | 77 | 50 | 33 | 30 | 27 | 21 | 34 | 11 | A-2-6(O) | | | | | |
| PK 26+300 (S8) | 10 0 | 95 | 85 | 60 | 37 | 34 | 32 | 24 | 27 | 10 | A-2-4(O) | | | | | |
| PK 26+300 (S11) | 97 | 96 | 71 | 42 | 27 | 26 | 24 | 19 | 31 | 10 | A-2-4(O) | | | | | |
| PK 26+300 (S14) | 92 | 87 | 75 | 53 | 35 | 33 | 31 | 27 | 28 | 9 | A-2-4(O) | | | | | |
| PK 26+300 (S16) | 10 0 | 98 | 80 | 51 | 30 | 29 | 28 | 20 | 35 | 11 | A-2-6(O) | | | | | |
| PK 26+300 (M1) S3+S8+S11+S14 | | 92. 25 | 72. 75 | 4 6 | 28. 25 | 26.2 5 | 24.5 | 19. 5 | 28.7 5 | 9.25 | A-2-4(O) | 2.03 | 11.9 | 1 2 | 2 6 | 3 8 |
| PK 26+300 (M2) | | 98 | 78 | 5 | 31 | 29.5 | 27.5 | 20 | 34.5 | 1 | A-2-6(O) | 2.06 | 9. 5 | 2 5 | 4 0 | 7 1 |
| Emprunt 5 de Nangola-Dioila : PK 29+200 | | | | | | | | | | | | | | | | |
| PK 29+200 (S1) | | 99 | 79 | 51 | 34 | 30 | 25 | 19 | 35 | 13 | A-2-6(O) | | | | | |
| PK 29+200 (S3) | 10 0 | 99 | 92 | 61 | 38 | 34 | 30 | 23 | 30 | 10 | A-2-4(O) | | | | | |
| PK 29+200 (S6) | 10 0 | 98 | 87 | 61 | 37 | 32 | 29 | 21 | 24 | 7 | A-2-4(O) | | | | | |
| PK 29+200 (S8) | 10 0 | 95 | 77 | 57 | 42 | 37 | 32 | 27 | 32 | 10 | A-2-4(O) | | | | | |
| PK 29+200 (S12) | 10 0 | 100 | 97 | 64 | 28 | 25 | 23 | 17 | 21 | 7 | A-2-4(O) | | | | | |
| PK 29+200 (S14) | 10 0 | 95 | 82 | 47 | 23 | 20 | 18 | 14 | 29 | 9 | A-2-4(O) | | | | | |

| | | | | | | | | | | | | | | | | |
|--------------------------------------|-----|-----------|----------|-----------|-----------|------|------|------|--------|------|----------|------|------|----|----|----|
| PK 29+200 (M1) | | 97 | 88 | 61 | 36 | 32 | 29 | 22 | 27 | 9 | A-2-4(O) | 2.14 | 10.3 | 21 | 23 | 24 |
| PK 29+000 (M2) | | 99 | 79 | 51 | 34 | 30 | 25 | 19 | 35 | 13 | A-2-6(O) | 2.04 | 10 | 21 | 27 | 31 |
| Emprunt 6 vers Dioila : PK 34+200 | | | | | | | | | | | | | | | | |
| PK 34+200 (S2) | 96 | 87 | 64 | 41 | 29 | 27 | 24 | 19 | 28 | 8 | A-2-4(O) | | | | | |
| PK 34+200 (S4) | 100 | 94 | 82 | 55 | 33 | 29 | 26 | 18 | 27 | 8 | A-2-4(O) | | | | | |
| PK 34+200 (S6) | 100 | 97 | 84 | 58 | 35 | 31 | 28 | 19 | 33 | 11 | A-2-6(O) | | | | | |
| PK 34+200 (S7) | 100 | 96 | 91 | 59 | 35 | 34 | 31 | 26 | 31 | 11 | A-2-6(O) | | | | | |
| PK 34+200 (S14) | 100 | 98 | 85 | 55 | 36 | 34 | 32 | 26 | 32 | 10 | A-2-4(O) | | | | | |
| PK 34+200 (S16) | 100 | 96 | 75 | 49 | 29 | 26 | 24 | 19 | 29 | 9 | A-2-4(O) | | | | | |
| PK 34+200 (M1) S2+S4+S14+S 1 6 | | 93. 75 | 76. 5 | 48. 52 | 31. 75 | 29 | 26.5 | 20.5 | 2 9 | 8.75 | A-2-4(O) | 2.16 | 9.1 | 10 | 13 | 17 |
| PK 34+000 (M2) | | 96.5 | 87. 5 | 58. 5 | 35 | 32.5 | 29.5 | 27.5 | 32 | 11 | A-2-6(O) | 2.12 | 9.3 | 41 | 49 | 62 |
| Emprunt 7 ville de Dioila: PK 34+200 | | | | | | | | | | | | | | | | |
| PK 36+000 (S2) | 100 | 97 | 85 | 63 | 39 | 36 | 34 | 28 | 37 | 14 | A-2-6(O) | | | | | |
| PK 36+000 (S4) | 100 | 89 | 66 | 33 | 12 | 11 | 10 | 9 | 38 | 14 | A-2-6(O) | | | | | |
| PK 36+000 (S8) | 100 | 96 | 88 | 65 | 39 | 35 | 33 | 26 | 32 | 11 | A-2-6(O) | | | | | |
| PK 36+000 (S10) | 100 | 100 | 94 | 53 | 15 | 14 | 13 | 10 | 34 | 12 | A-2-6(O) | | | | | |

| | | | | | | | | | | | | | | | | |
|---------------------------------|-----|----|--------|-----------|----|-----------|-----------|-----------|----|-----|----------|------|-----|----|----|----|
| PK 36+000 (S12) | 100 | 90 | 7 8 | 62 | 43 | 40 | 39 | 30 | 36 | 14 | A-2-6(O) | | | | | |
| PK 36+000 (S15) | 100 | 95 | 8 5 | 53 | 30 | 28 | 27 | 25 | 30 | 10 | A-2-6(O) | | | | | |
| PK 36+000 (M1) S2+S4+S12 | 100 | 92 | 7 6 | 53 | 31 | 29 | 28 | 22 | 37 | 14 | A-2-6(0) | 2.11 | 9.5 | 14 | 23 | 32 |
| PK 36+000 (M2) S8+S10+S15 | 100 | 96 | 8 9 | 57 | 28 | 32 | 24 | 20 | 32 | 11 | A-2-6(0) | 2.16 | 8.8 | 20 | 21 | 23 |
| Emprunt 8 Dioila : PK 38+200 | | | | | | | | | | | | | | | | |
| | 100 | 96 | 77 | 44 | 30 | 29 | 28 | 22 | 25 | 8 | A-2-4(O) | | | | | |
| PK 38+200 (S3) | 100 | 99 | 88 | 66 | 48 | 46 | 44 | 38 | 29 | 9 | A-2-4(O) | | | | | |
| PK 38+200 (S5) | 100 | 96 | 81 | 55 | 35 | 33 | 32 | 26 | 30 | 11 | A-2-6(O) | | | | | |
| PK 38+200 (S7) | 100 | 83 | 58 | 35 | 17 | 16 | 15 | 12 | 29 | 9 | A-2-4(O) | | | | | |
| PK 38+200 (S12) | 100 | 94 | 71 | 40 | 21 | 18 | 16 | 15 | 25 | 8 | A-2-4(O) | | | | | |
| PK 38+200 (S14) | 100 | 84 | 65 | 47 | 31 | 29 | 28 | 25 | 30 | 11 | A-2-6(O) | | | | | |
| PK 38+200 (M1) S5+S14 | 100 | 95 | 73 | 51 | 33 | 31 | 30 | 26 | 30 | 11 | A-2-6(0) | 2.23 | 8.2 | 32 | 43 | 51 |
| PK 38+200 (M2) | 100 | 93 | 73.5 | 46. 25 | 29 | 27. 25 | 25.7 5 | 21. 75 | 27 | 8.5 | A-2-4(O) | 2.32 | 8.1 | 10 | 17 | 23 |

5- Carrières rocheuses

Tableau 77 : Situation des roches massives

| N° | Section | Localité | Coordonnées GPS (UTM 29P) | LA | MDE |
|----|---------|----------|---------------------------|----|-----|
| 1 | RN30 | FANA | X=0807176 / Y=1522910 | 15 | 10 |
| | | | | 16 | 11 |